

# Analisi di un Oscillatore Van der Pol del Terzo Ordine



UNIVERSITÀ DEGLI STUDI  
DI GENOVA

Francesco Grella  
Andrea Melis

# Introduzione e Obiettivi

- Si vuole fornire un'analisi esaustiva mediante simulazione in MATLAB di un *sistema non lineare del terzo ordine*
- L'analisi è stata effettuata combinando *metodi a 'Forza Bruta'* e *metodi di Continuazione*
- Gli obiettivi dell'analisi si sono concentrati sullo studio del comportamento del sistema al *variare dei parametri  $\alpha$  e  $\beta$*
- Molto importante è stato lo *studio della stabilità* e la *ricerca delle biforcazioni* nello spazio definito dai suddetti parametri

# Descrizione del Sistema

- Il sistema in esame appartiene alla famiglia degli oscillatori di Van der Pol, un insieme di modelli nati in ambito elettrotecnico, relativamente alle valvole termoioniche
- Le equazioni sono espresse in spazio di stato tridimensionale  $(x, y, z)$  e dipendono da due parametri  $\alpha$  e  $\beta$ , e sono le seguenti:

$$\dot{x} = 10(\alpha y - x^3 + 3x - \beta)$$

$$\dot{y} = x - 2y + z$$

$$\dot{z} = y - z$$

- I valori dei parametri forniti, per la analisi iniziale sono  $\alpha = 0.15$  e  $\beta = 0$

# Considerazioni Iniziali

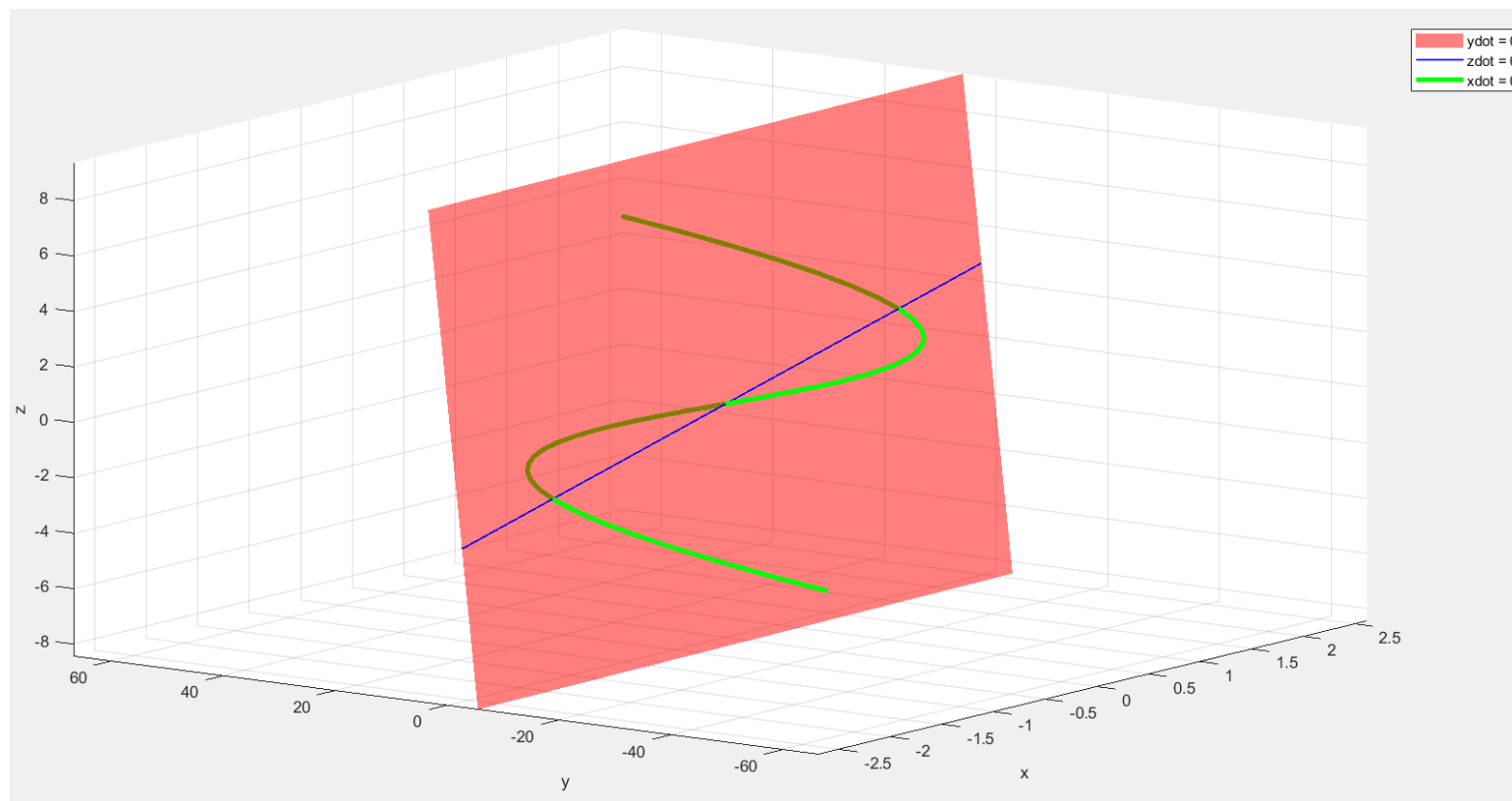
- Osservando le equazioni si nota che la *nonlinearità è concentrata nella prima equazione*, relativa all'evoluzione di  $x$ , più precisamente in un termine cubico  $-x^3$
- Entrambi *i parametri* sono presenti solo nella *prima equazione* di stato, quindi la variazione di  $\alpha$  e  $\beta$  andrà a influenzare l'andamento di  $\dot{x}$
- Le equazioni  *$\dot{y}$  e  $\dot{z}$  sono invece lineari* in quanto somme di termini lineari, del tipo ' $ay$ ' con  $a$  costante e  $y$  generica variabile di stato

# Analisi delle Isocline Nulle I

- Il punto di partenza dell'analisi è stato effettuato studiando il *comportamento delle isocline nulle*, ovvero le curve/superfici per i quali il *flusso* del campo vettoriale dato da  $\dot{x}$ ,  $\dot{y}$  e  $\dot{z}$  *risulta nullo*
- Le isocline nulle del sistema sono le seguenti:
$$\alpha y - x^3 + 3x - \beta = 0$$
$$x - 2y + z = 0$$
$$y - z = 0$$
- L'obiettivo è ricavare i *punti di equilibrio* nello spazio di stato *osservando le intersezioni* tra la curva  $\dot{x} = 0$ , il piano  $\dot{y} = 0$  e la retta  $\dot{z} = 0$ , che giace sul piano. Tramite visualizzazione delle isocline nulle è stato inoltre possibile evidenziare la *simmetria del sistema*

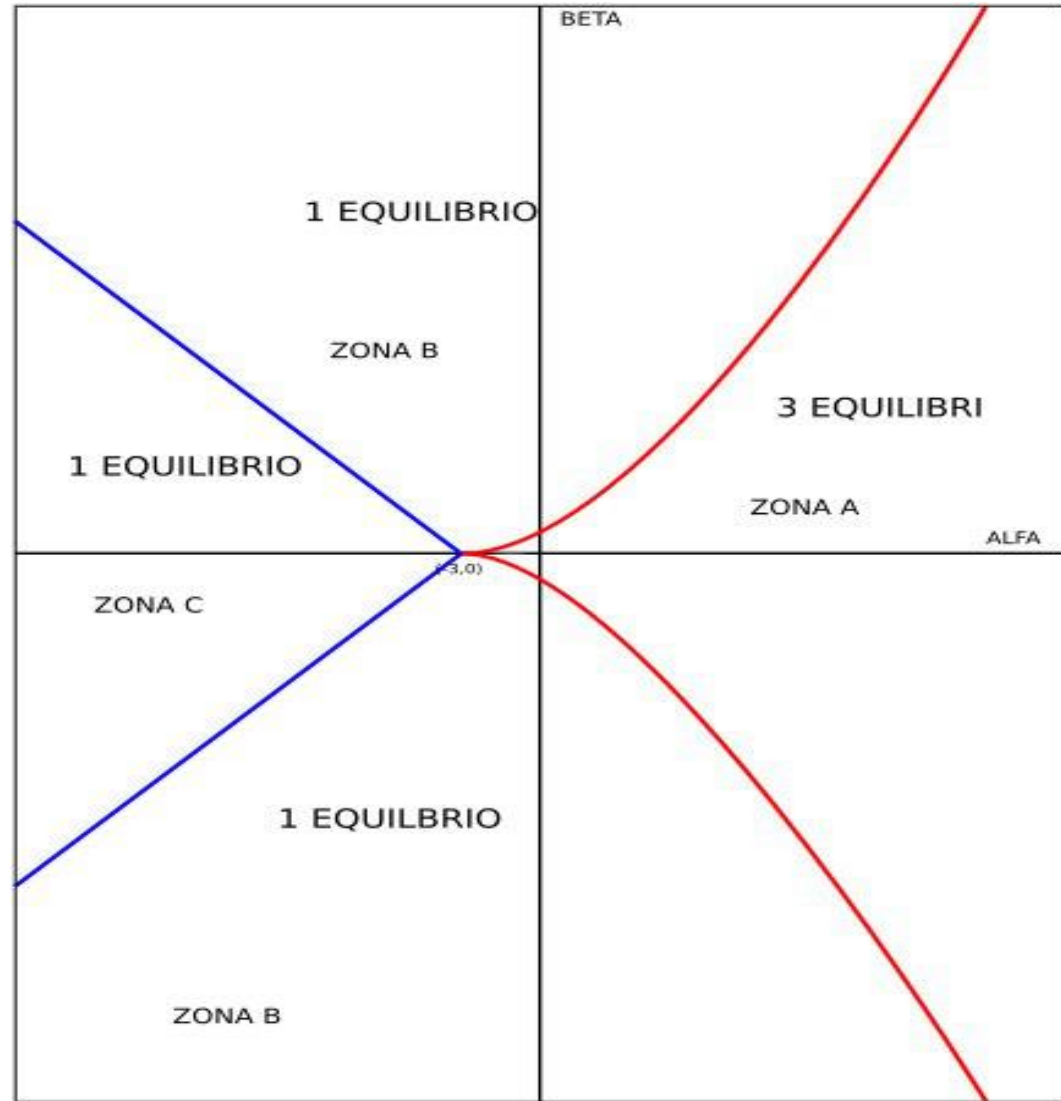
# Analisi delle Isocline Nulle II

- In figura è mostrato il luogo delle isocline nulle ottenuto in Matlab per  $\alpha = 0.15$  e  $\beta = 0$ . La simmetria del sistema, in particolare del termine non lineare, è evidente. Sono ben visibili i *tre punti di equilibrio*, uno nell'origine e gli altri due simmetrici ad esso



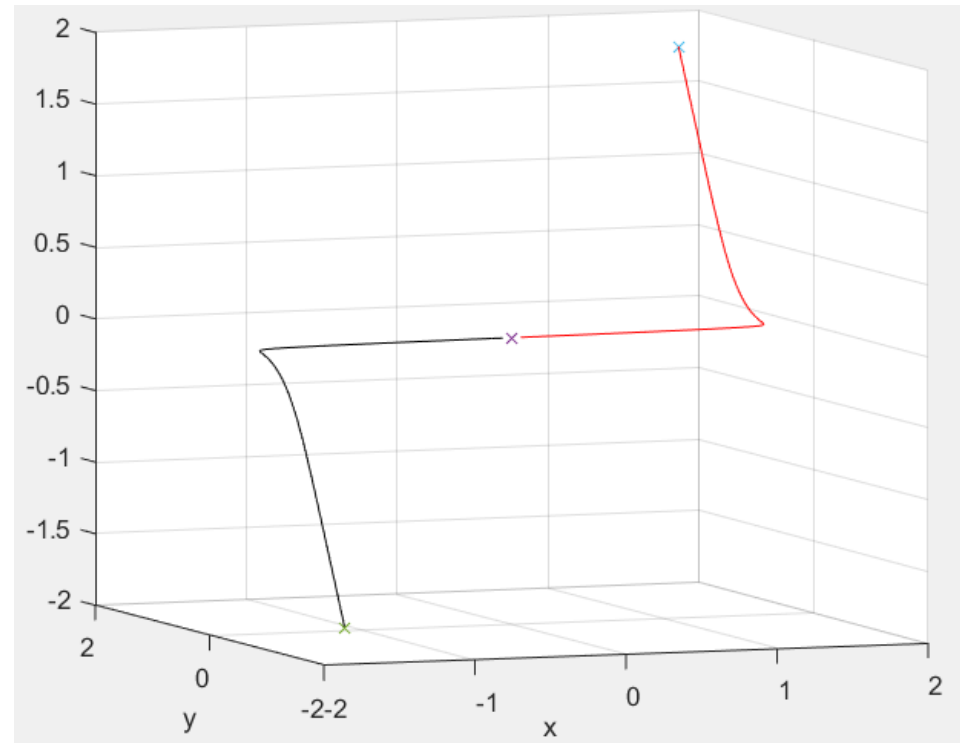
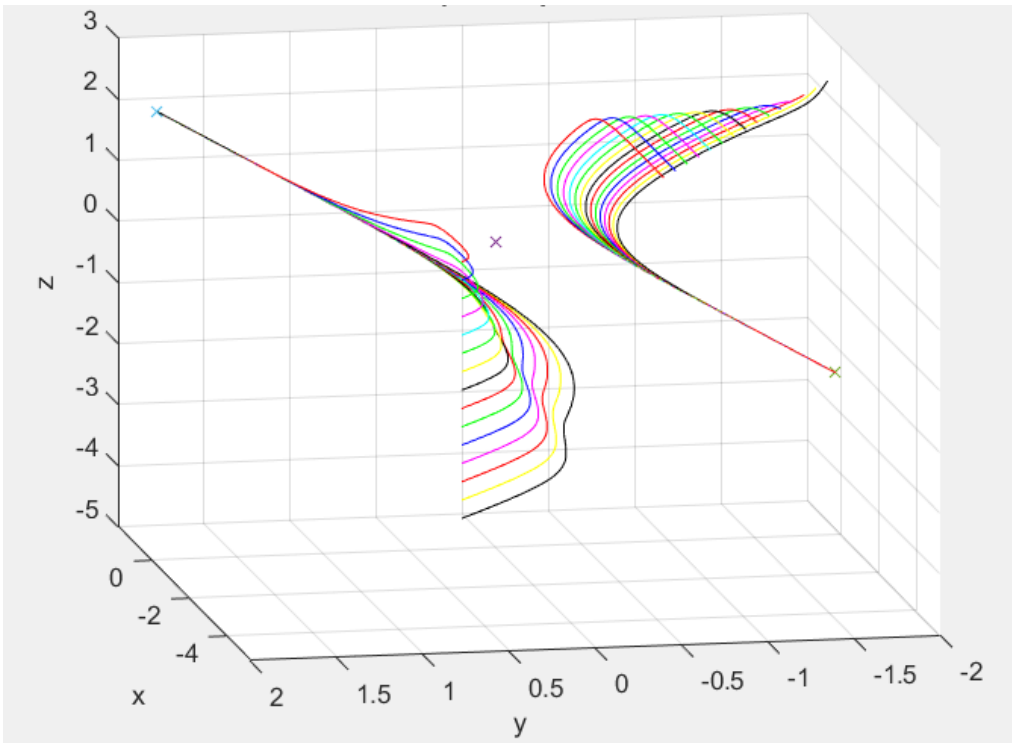
# II *Piano dei Parametri*

- L'immagine mostra il *piano dei parametri* con il diagramma di biforcazione ricavato durante l'analisi. Nel seguito saranno analizzate le *proprietà delle varie regioni*.



# Regione A

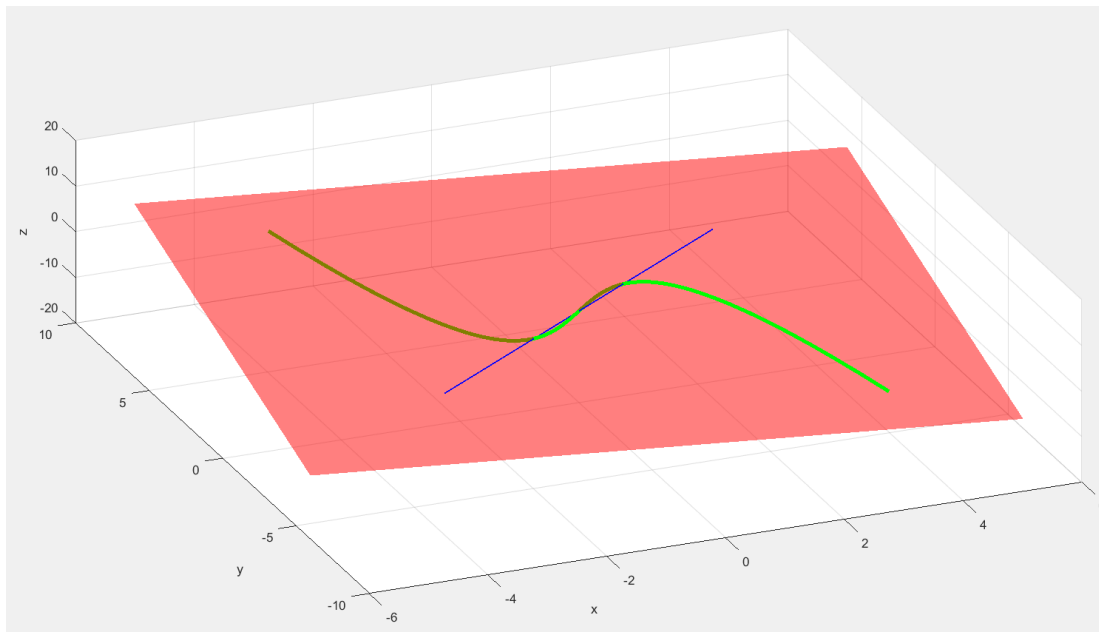
- La prima regione analizzata, indicata con 'A', alla quale appartiene anche il punto  $(\alpha, \beta) = (0.15, 0)$ , è caratterizzata dalla presenza di **3 equilibri**: analizzando gli autovalori del sistema linearizzato (quindi della Jacobiana) in ciascuno di essi si evince che il sistema ha **2 equilibri stabili in  $(1.77, 1.77, 1.77)$  e  $(-1.77, -1.77, -1.77)$**  e una **sella in  $(0, 0, 0)$**  con **varietà stabile di dimensione 2** e **varietà instabile di dimensione 1**.



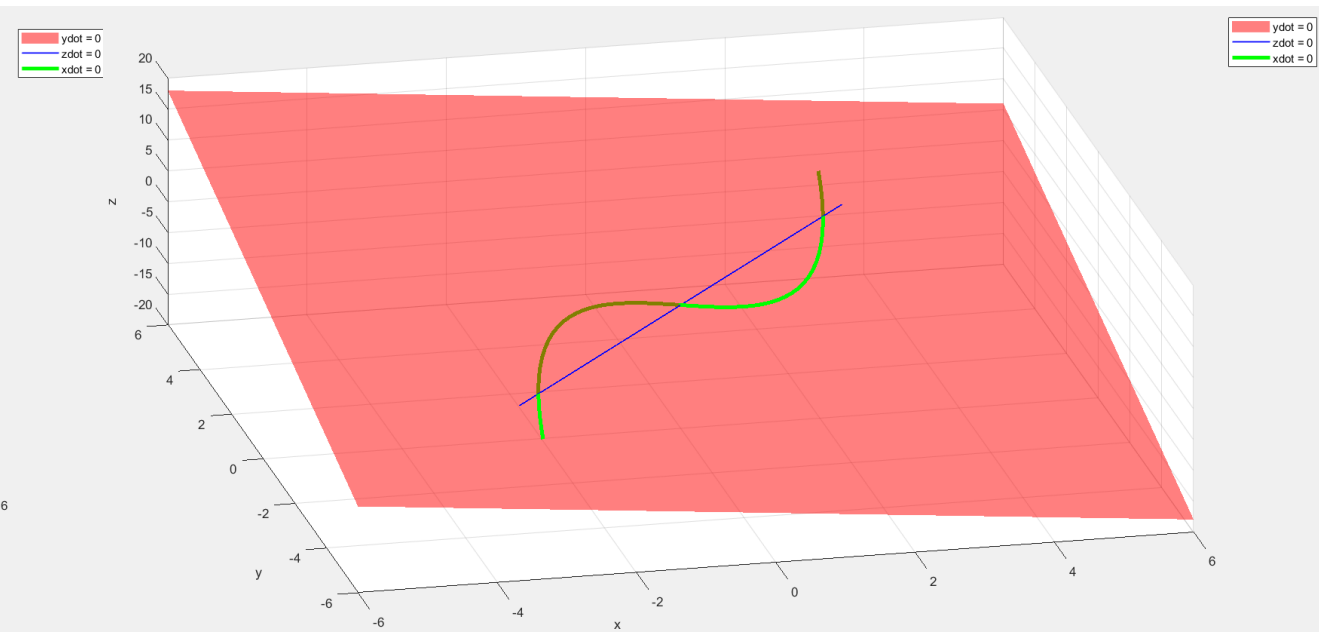


# Regione A – Variazione di $\alpha$

- Muovendosi all'interno della regione la variazione dei parametri comporta alcune conseguenze: Al variare di  $\alpha$  si agisce sul termine lineare che 'guida' l'inclinazione del termine cubico nell'origine, quindi si assiste a una *distensione (incremento di  $\alpha$ )* o a una *contrazione (decremento di  $\alpha$ )* progressive. Entro i limiti della regione ciò risulta in un *allontanamento/avvicinamento* degli equilibri stabili rispetto all'origine.



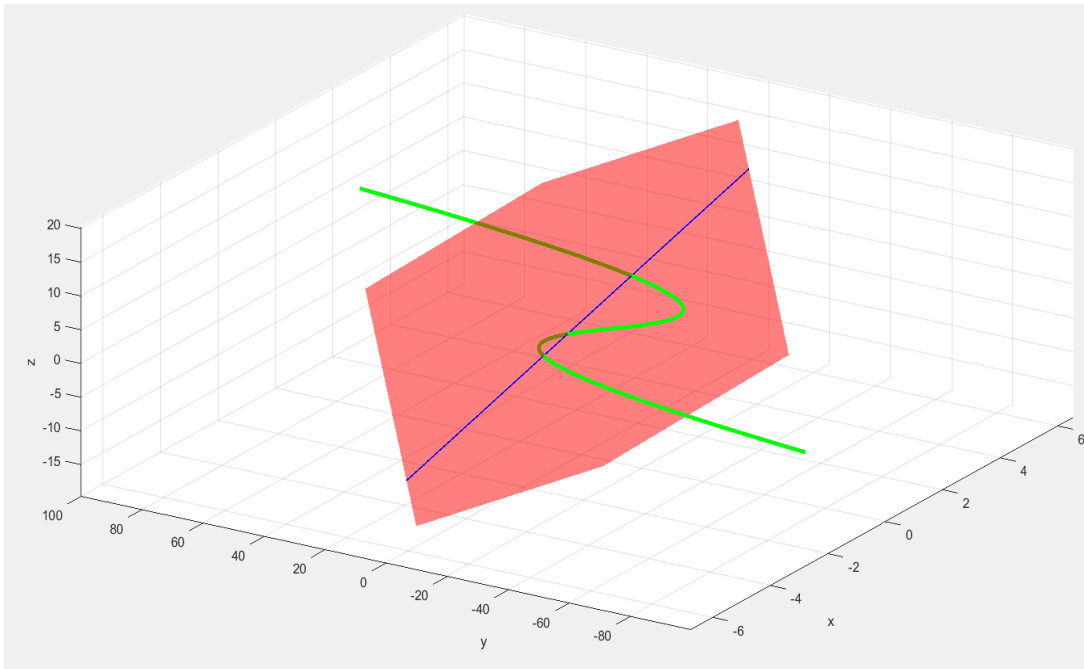
$\alpha = -2, \beta = 0$  Equilibri Stabili in +/- [1,1,1]



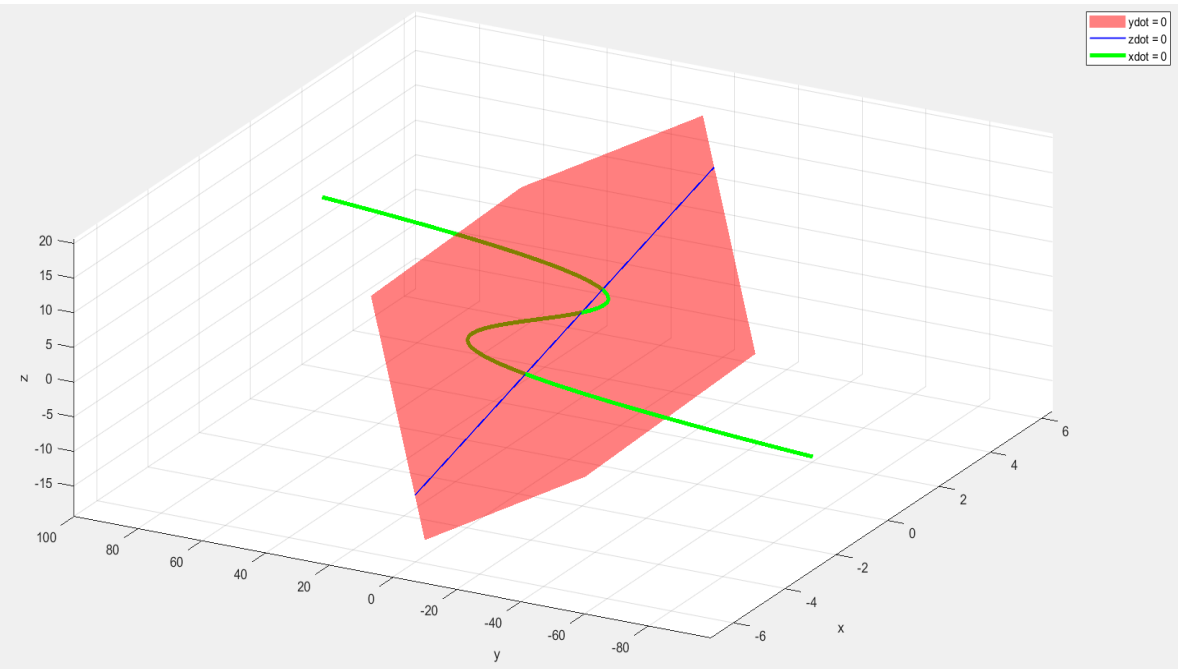
$\alpha = 4, \beta = 0$  Equilibri Stabili in +/- [2.645, 2.645, 2.645]

# Regione A – Variazione di $\beta$

- Al variare del parametro  $\beta$  si va invece ad agire su un *termine costante* che è *sommato alla cubica*, quindi ciò che si può considerare un offset della funzione stessa. All'aumentare/diminuire di  $\beta$  si ha un *comportamento simmetrico* per il quale gli *equilibri si spostano* lungo la linea evidenziata in blu, corrispondente a  $\dot{z} = 0$



$\alpha = 0.15, \beta = -1.5$  *Nodo Stabile* in  $[-1.456, 1.456, 1.456]$   
*Nodo Stabile* in  $[1.977, 1.977, 1.977]$   
*Punto Sella* in  $[-0.521, 0.521, 0.521]$



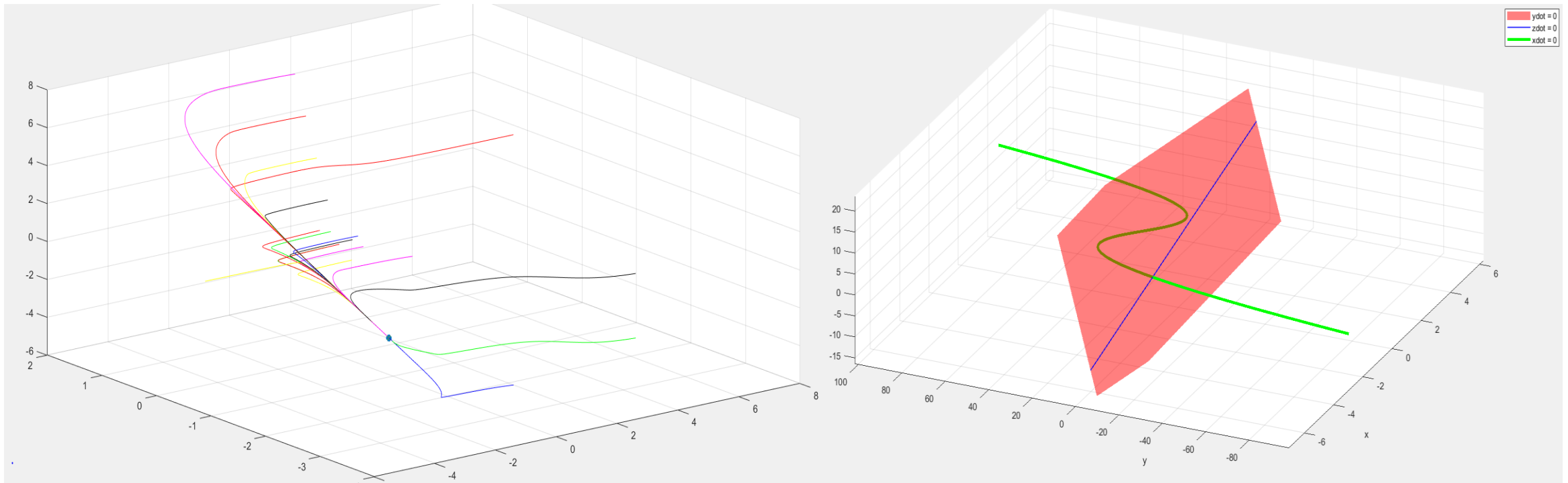
$\alpha = 0.15, \beta = 1.5$  *Nodo Stabile* in  $[1.456, 1.456, 1.456]$   
*Nodo Stabile* in  $[-1.977, 1.977, 1.977]$   
*Punto Sella* in  $[0.521, 0.521, 0.521]$

# Confine Regione A – *Biforcazioni Fold*

- Al variare di  $\beta$  oltre un certo valore, *sia in negativo che in positivo* per simmetria, si va incontro alle prime biforcazioni trovate durante l'analisi
- Detta anche *biforcazione Sella-Nodo*, per il fatto che è data dalla collisione tra un Nodo ed un Punto Sella
- Viene definita come 'meccanismo base per la *creazione* e la *distruzione* di punti fissi', ed è una biforcazione di *Codimensione 1*
- Nell'oscillatore analizzato avviene quando, per  $\alpha$  appartenente alla regione A, ho  $\beta \geq 2.16$  oppure  $\beta \leq -2.16$ , ho in entrambi i casi la collisione tra il Punto Sella e uno dei due Nodi Stabili, con conseguente *distruzione di entrambi*.

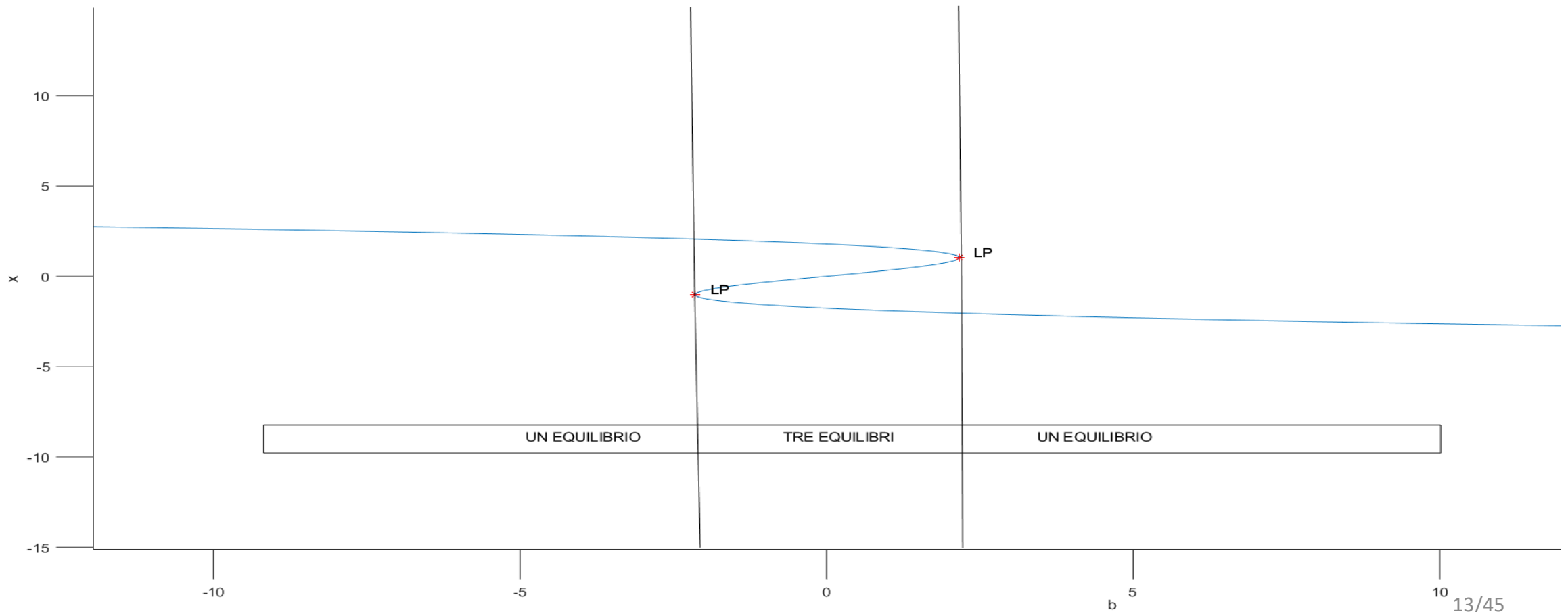
# Confine Regione A – *Biforcazioni Fold II*

- Nel seguito è mostrato il grafico delle isocline nulle per  $\beta = 2.5$ : si può notare che è appena avvenuta una *collisione tra i due invarianti*, ed è rimasto un solo *Nodo Globalmente Stabile* in  $-[2.08, 2.08, 2.08]$ , con l'intero spazio come *bacino di attrazione*.



# Diagramma di *Biforcazione Fold*

- Ottenuto con Matcont, mette in evidenza il comportamento dei punti di equilibrio al variare di  $\beta$  nella regione considerata.

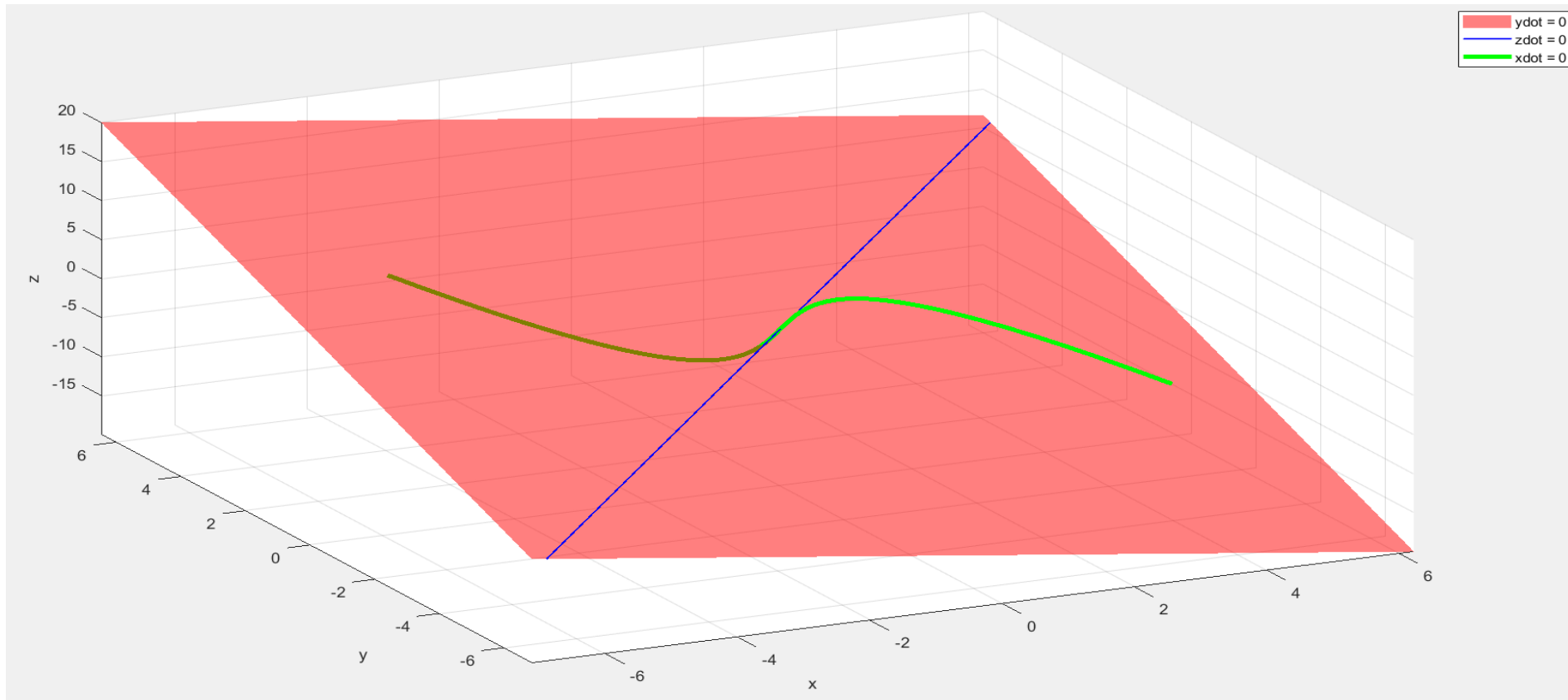


# *Biforcazione Cusp* - Introduzione

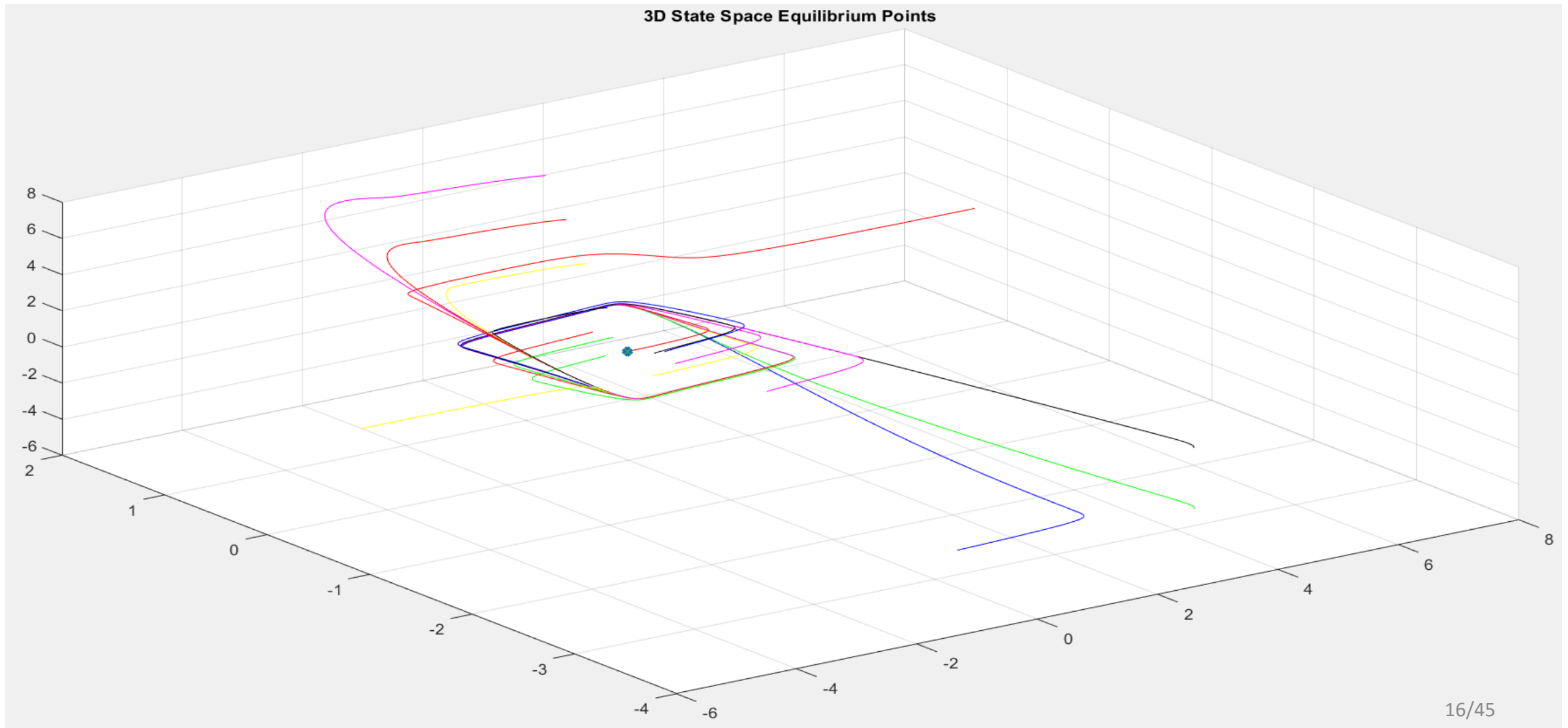
- Il diagramma di biforcazione si ottiene *continuando uno dei due punti di biforcazione Fold*, evidenziati in precedenza.
- Definita come *Fold Generalizzata*, è una biforcazione di *Codimensione 2*; il suo luogo segue i punti che soddisfano la condizione di biforcazione Fold, quindi due curve simmetriche sul piano  $(\alpha, \beta)$  che si incontrano e terminano nel punto  $(\alpha, \beta) = (-3, 0)$
- Riguardo le isocline nulle si ha una *distensione del termine cubico* che di fatto annulla le due 'anse' che intersecano il piano  $\dot{y} = 0$  e la retta  $\dot{z} = 0$ , lasciando un solo equilibrio che per  $\beta = 0$  è localizzato nell'origine.

# *Biforcazione Cusp* – Isocline Nulle

- Nella figura sono mostrate le Isocline Nulle del sistema per  $(\alpha, \beta) = (-3, 0)$ , risulta evidente il fatto che i due nodi stabili si sono avvicinati in modo simmetrico all'origine fino a collidere con essa.



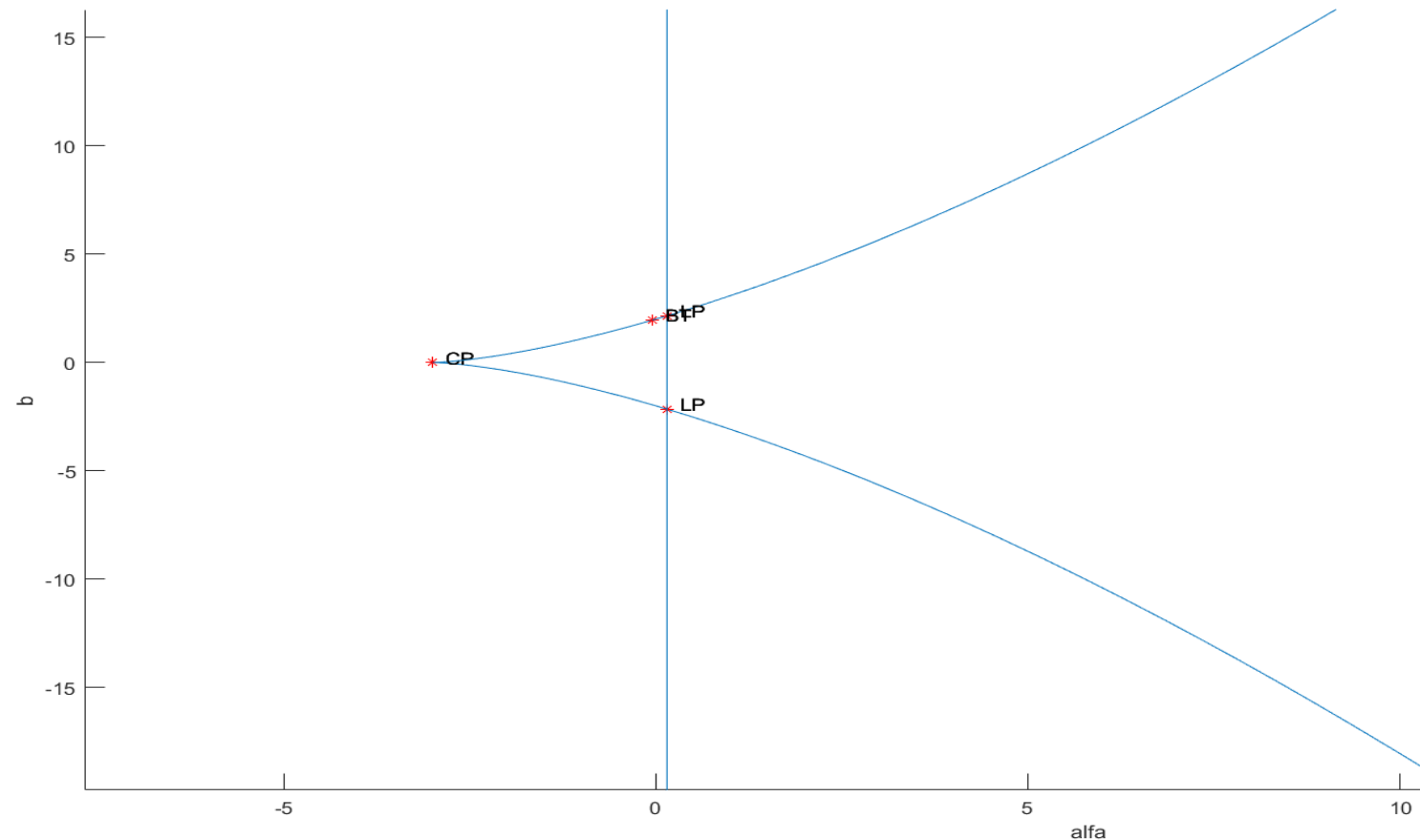
# *Biforcazione Cusp* – Spazio di Stato





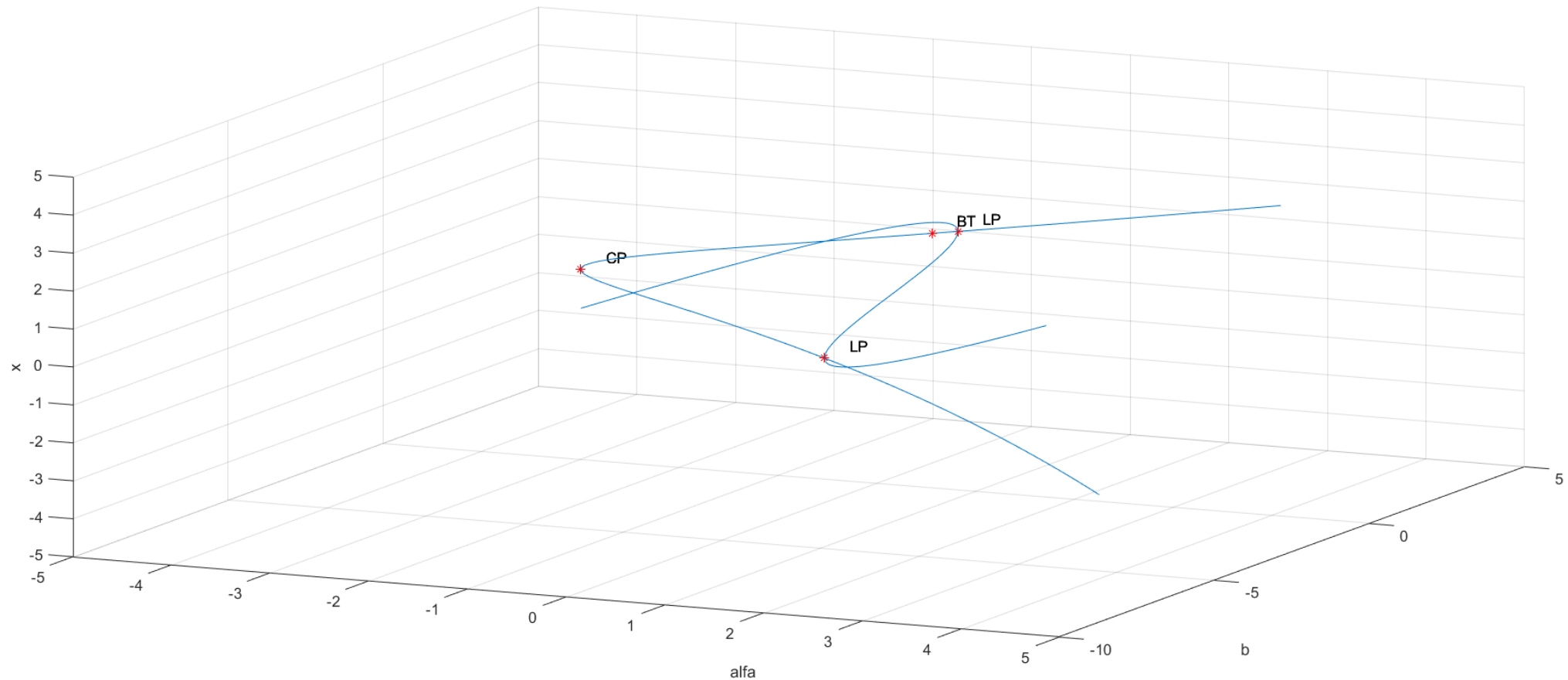
# Biforcazione Cusp – Piano dei Parametri

- Sul piano  $(\alpha, \beta)$  sono evidenti le due curve simmetriche descritte in precedenza. Individuano e *racchiudono la regione* in cui il *sistema ha tre equilibri*, *altrove* il sistema ne ha *solo uno*



# *Biforcazione Cusp* – Spazio di Controllo

- Qui è fornita un'ultima 'vista' della regione associata alla biforcazione Cusp, con una terza dimensione rappresentata dalla variabile di stato  $x$ .



# Biforcazione Hopf – Introduzione

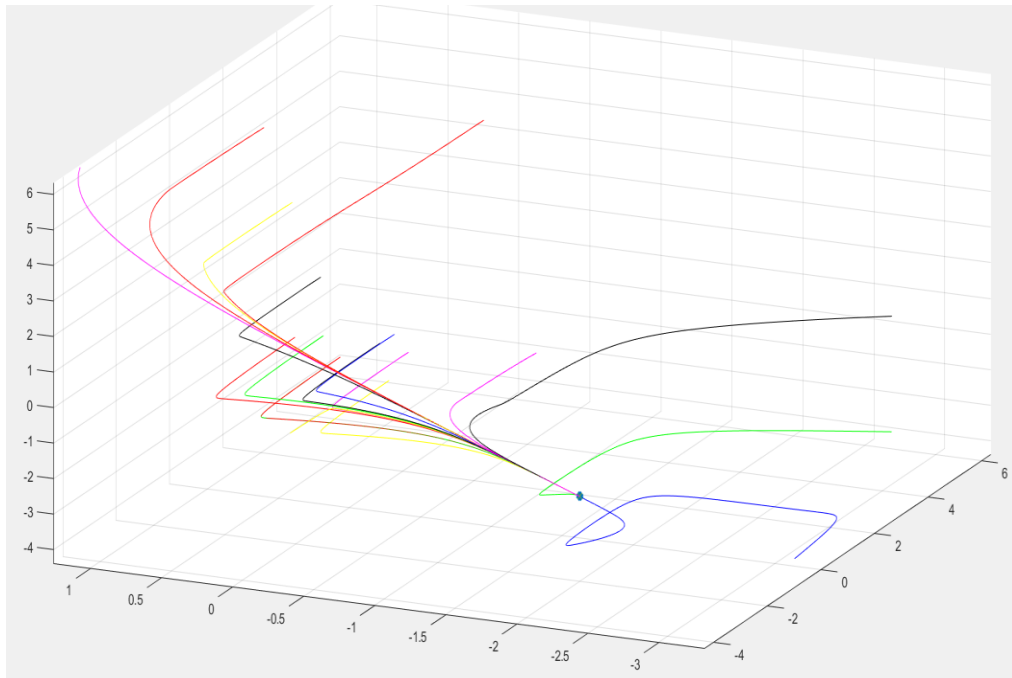
- Biforcazione di *Codimensione 1*, localizzata *simmetricamente* per  $\alpha \leq -3$  per valori positivi e negativi di  $\beta$ .
- Al di sotto della curva ho un *Ciclo Limite Stabile* localizzato intorno al Punto di Sella, l'origine nel caso di  $\beta = 0$ .
- La biforcazione in questione è una *Hopf Supercritica*, caso non catastrofico, nel quale il *ciclo generato gradualmente* dall'attraversamento da parte di due autovalori complessi coniugati della frontiera di stabilità risulta stabile. Tale affermazione è supportata dall'analisi in Matcont, che restituisce una funzione detta *Primo Coefficiente di Lyapunov*, negativa nel caso di Hopf Supercritica, nello specifico del valore di -1.513.

# *Biforcazione Hopf* – Spazio di Stato

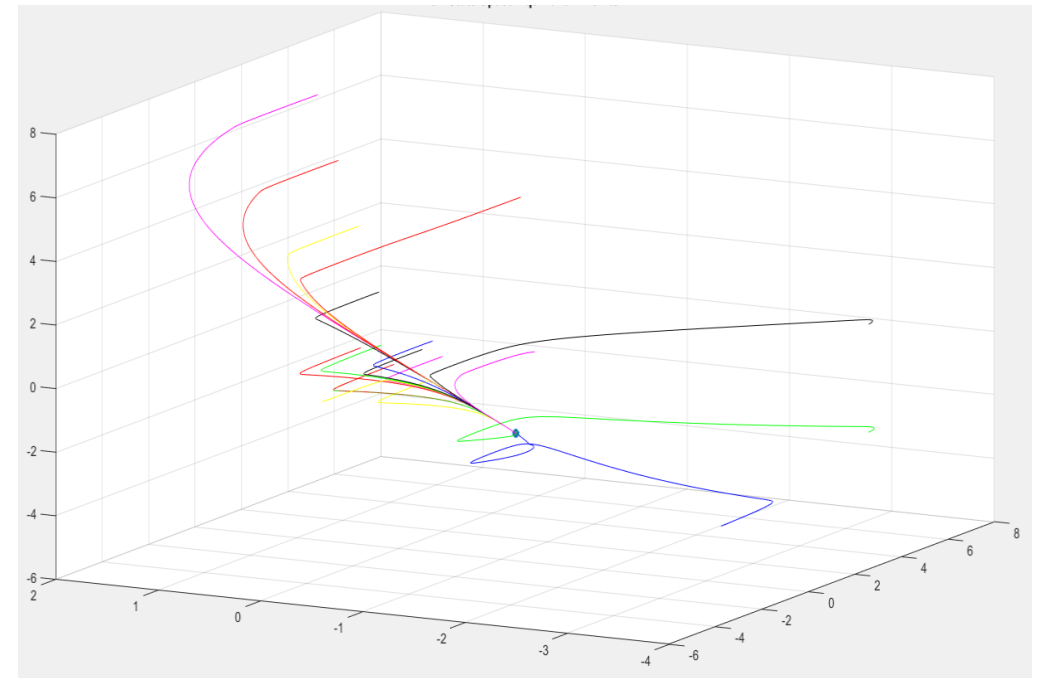
- Qui sono mostrate le traiettorie nello spazio 3D di stato a cavallo della biforcazione Hopf. Il punto sulla curva di biforcazione sulla curva è stato scelto in  $(\alpha, \beta) = (-9, 6.8)$ . Un risultato analogo si ottiene per  $\beta = -6.8$
- Per analizzare in dettaglio la biforcazione, l'idea è stata quella di proporre una *'sequenza di eventi'* mostrando le traiettorie nello spazio di stato, per un valore costante di  $\alpha$ , partendo da un  $\beta$  abbastanza lontano dalla curva, per il quale *l'equilibrio è un nodo stabile*, ed *avvicinarsi fino ad attraversare* la curva riducendo  $\beta$ , per rappresentare la creazione del ciclo stabile.

# Sequenza Biforcazione Hopf - I

- Tenendo  $\alpha$  fissato, si parte da un valore  $\beta = 20$ , regione in cui si ha un solo equilibrio stabile, e si prosegue diminuendo il valore avvicinandosi al punto di biforcazione.



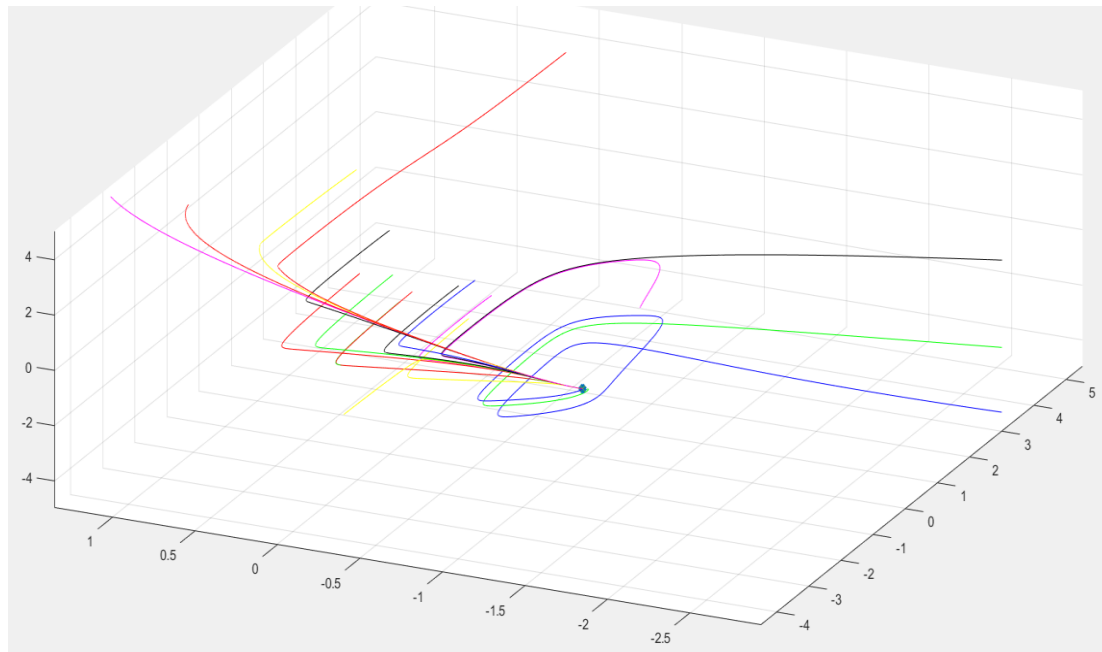
$\beta = 20$



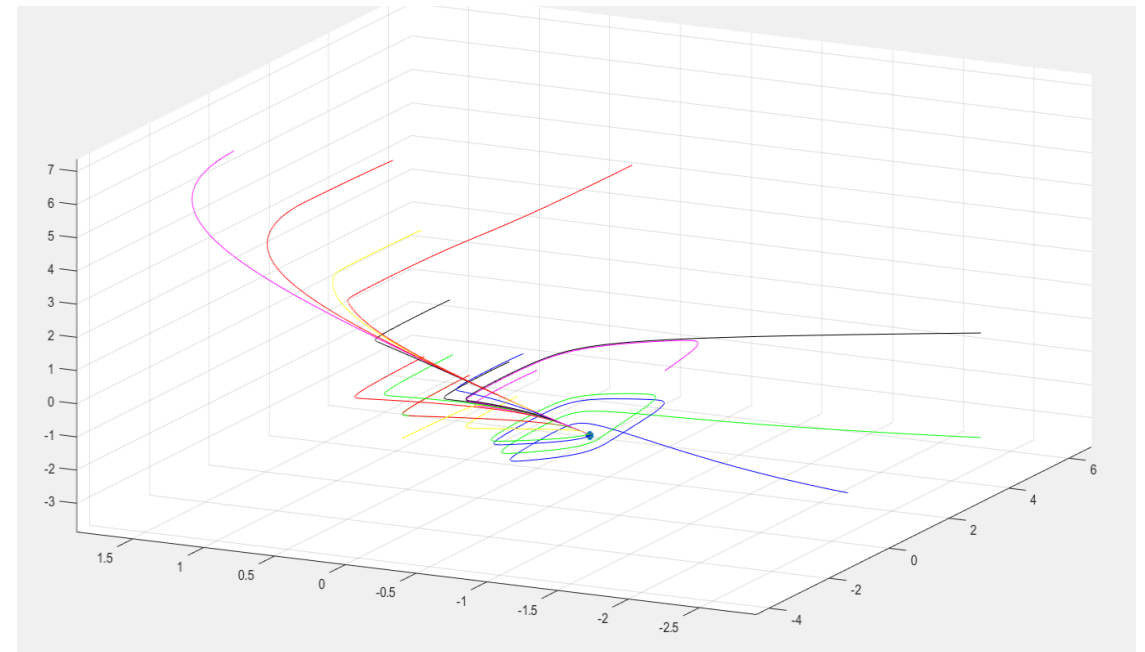
$\beta = 12$

# Sequenza Biforcazione Hopf - II

- In questa figura ci si sta avvicinando al punto di biforcazione. Ora l'equilibrio è un *Nodo-Fuoco Stabile*, in quanto possiede due *Autovalori Complessi Coniugati* a parte reale negativa



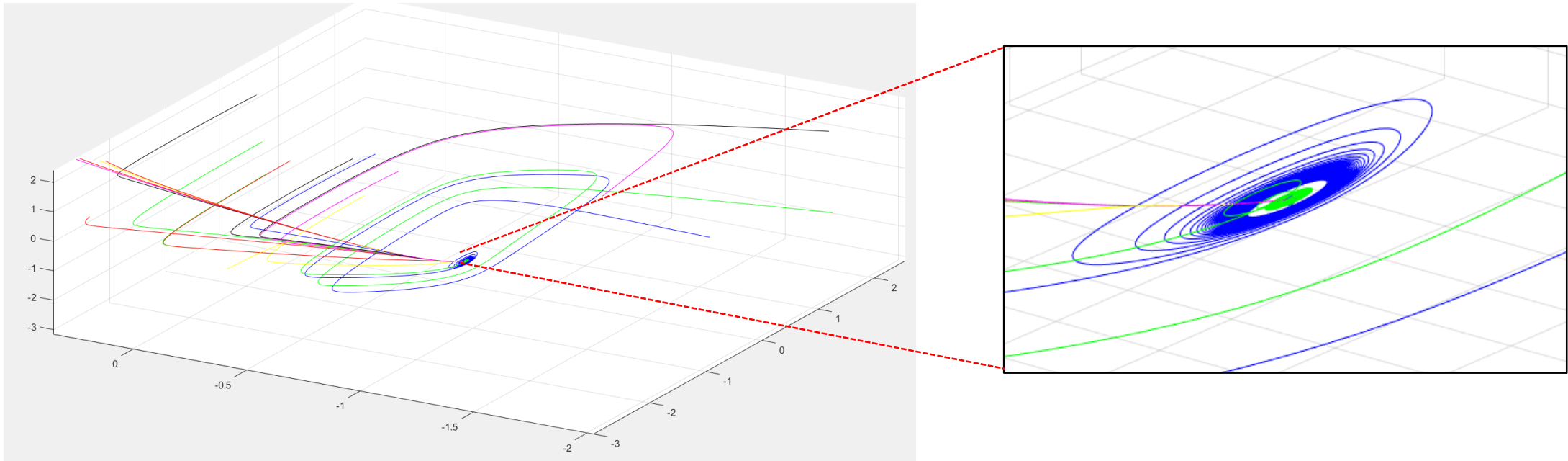
$\beta = 7.5$



$\beta = 7$

# Sequenza Biforcazione Hopf - III

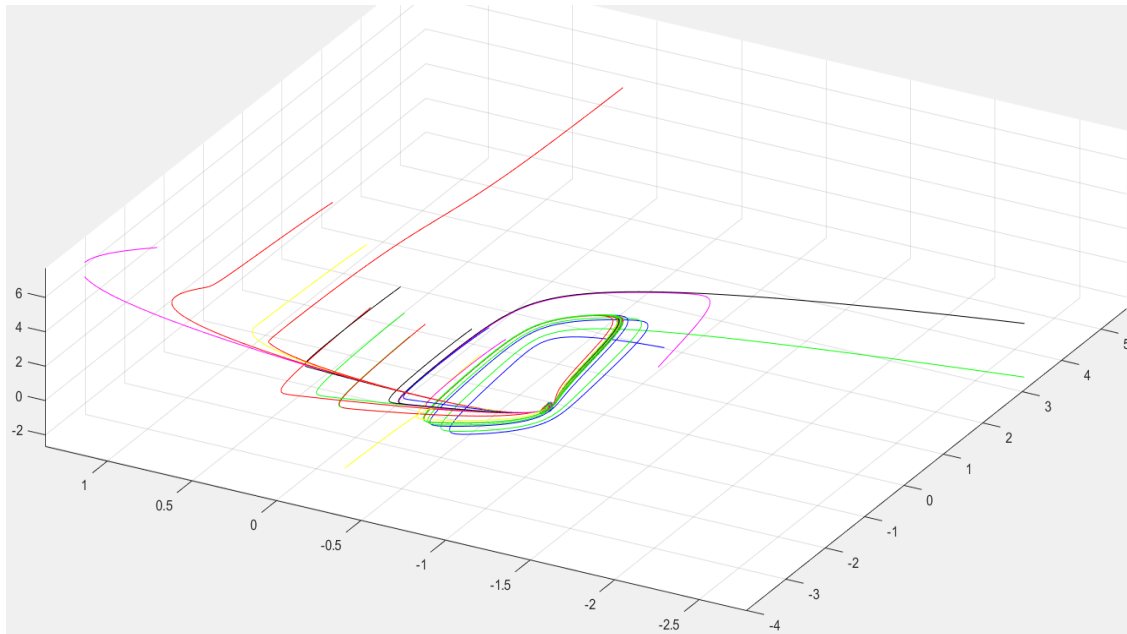
- Ponendosi ora *appena al di sotto* del valore di biforcazione comincia ad apparire evidente la formazione del *ciclo limite stabile*.



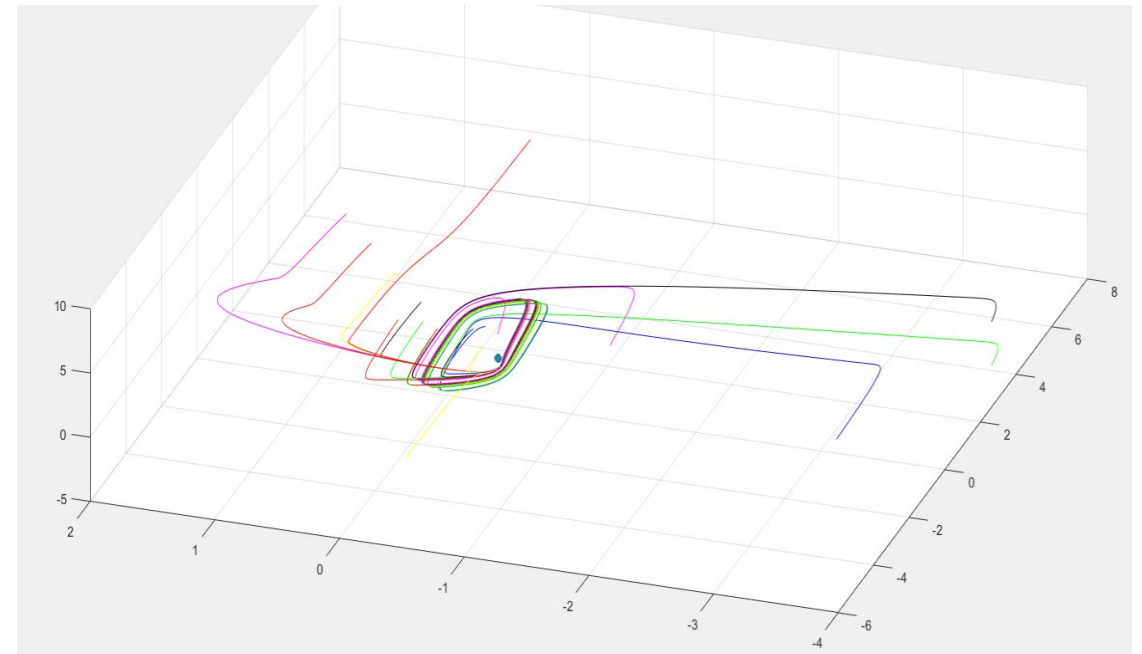
$$\beta = 6.7$$

# Sequenza Biforcazione Hopf - IV

- Continuando a diminuire  $\beta$  si ha il *Ciclo Limite Stabile*, *proseguendo in negativo* ci si dirige verso il punto di biforcazione simmetrico, che comporterà la scomparsa del ciclo a  $\beta = -6.8$ . L'*equilibrio* è ora una *Sella*, ha due autovalori complessi coniugati a  $\text{Re} > 0$  ed uno reale negativo.



$\beta = 6$

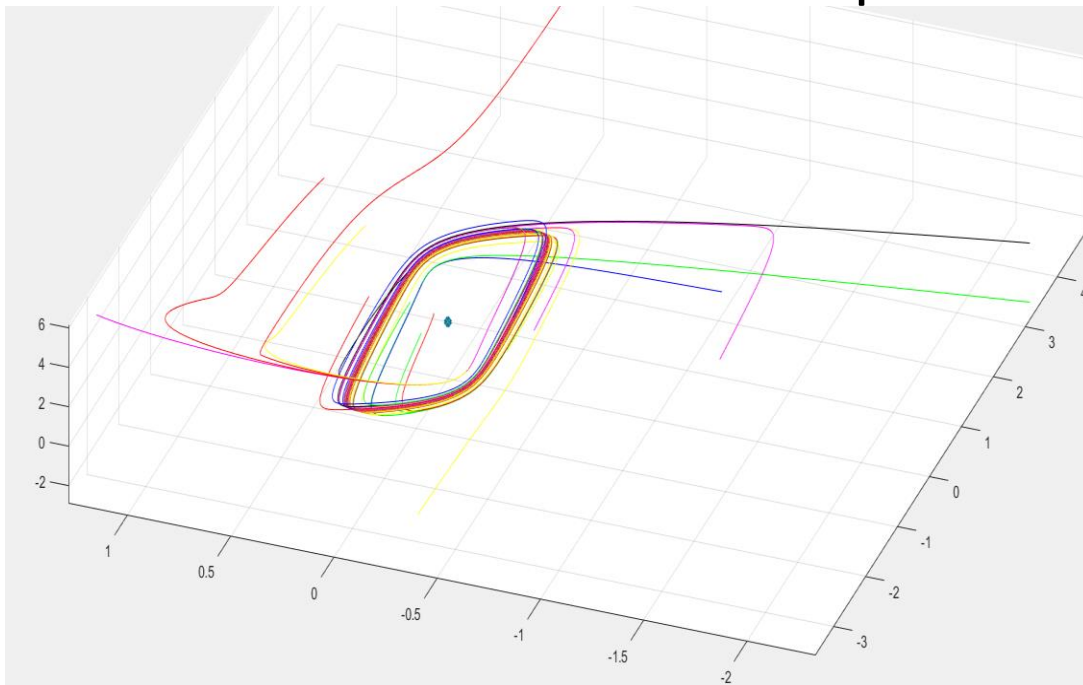


$\beta = 3$

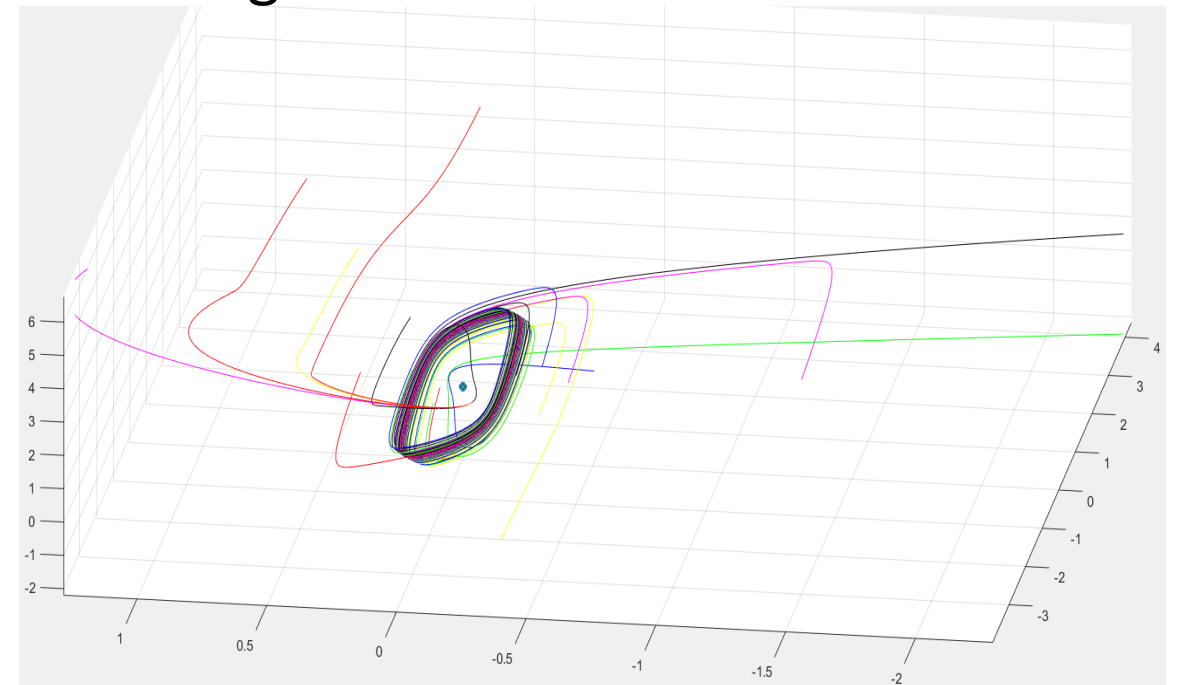


# Sequenza Biforcazione Hopf - V

- Per  $\beta=0$  sono evidenti il Punto di Sella (con autovalori reali, dimensione di varietà instabile pari a 2) ed il ciclo limite nella forma caratteristica degli oscillatori Van der Pol. Diminuendo ulteriormente  $\alpha$  invece si ottiene un aumento delle oscillazioni prima della convergenza al ciclo



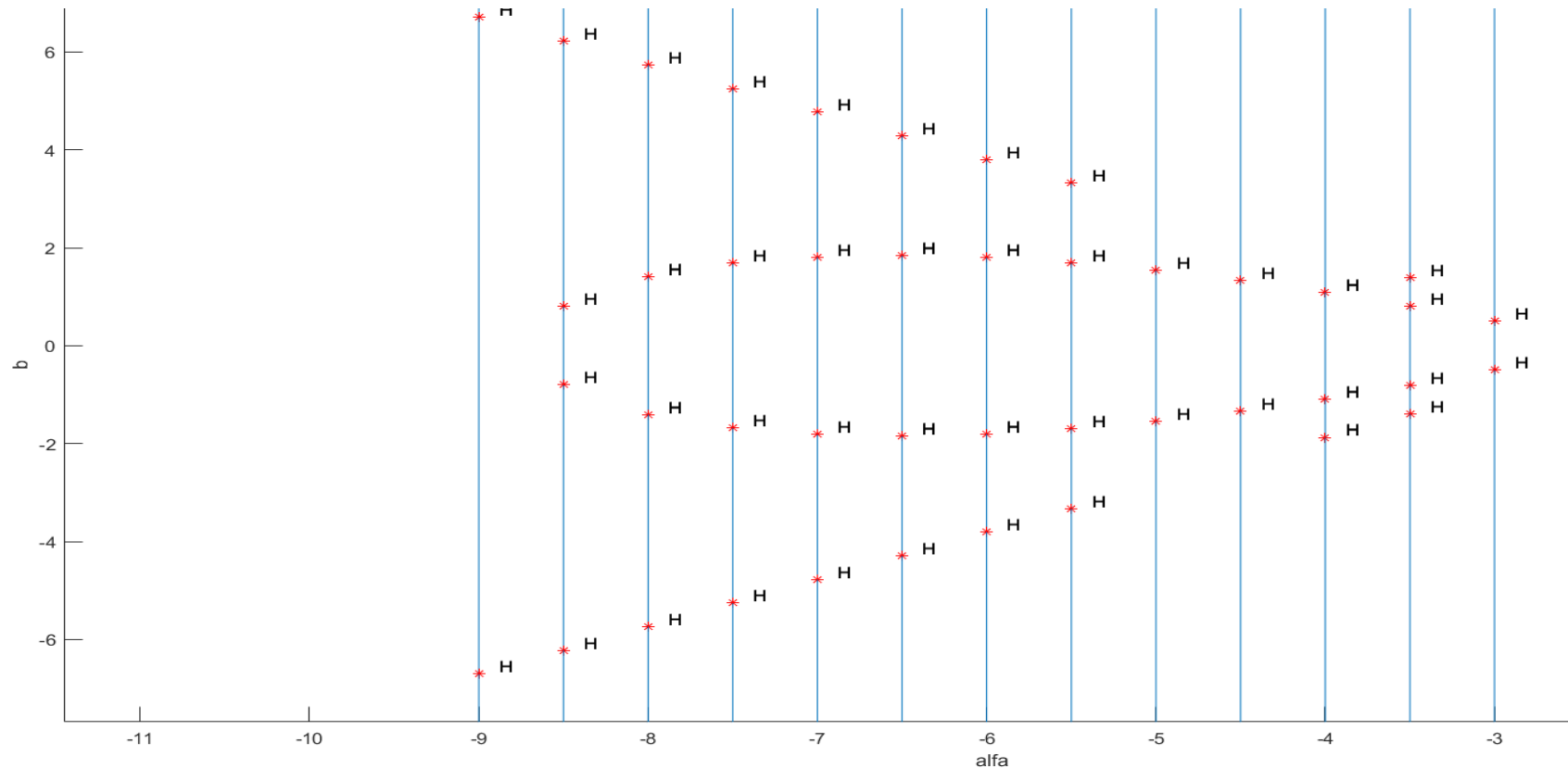
$\alpha = -9$



$\alpha = -20$

# Biforcazione Hopf in Matcont

- Utilizzando Matcont, continuando equilibri al variare di  $\beta$ , si è ricavato, a meno di alcuni punti, il profilo delle curve di biforcazione Hopf.
- Le due 'curve' più interne corrispondono invece a delle 'Neutral Saddles'

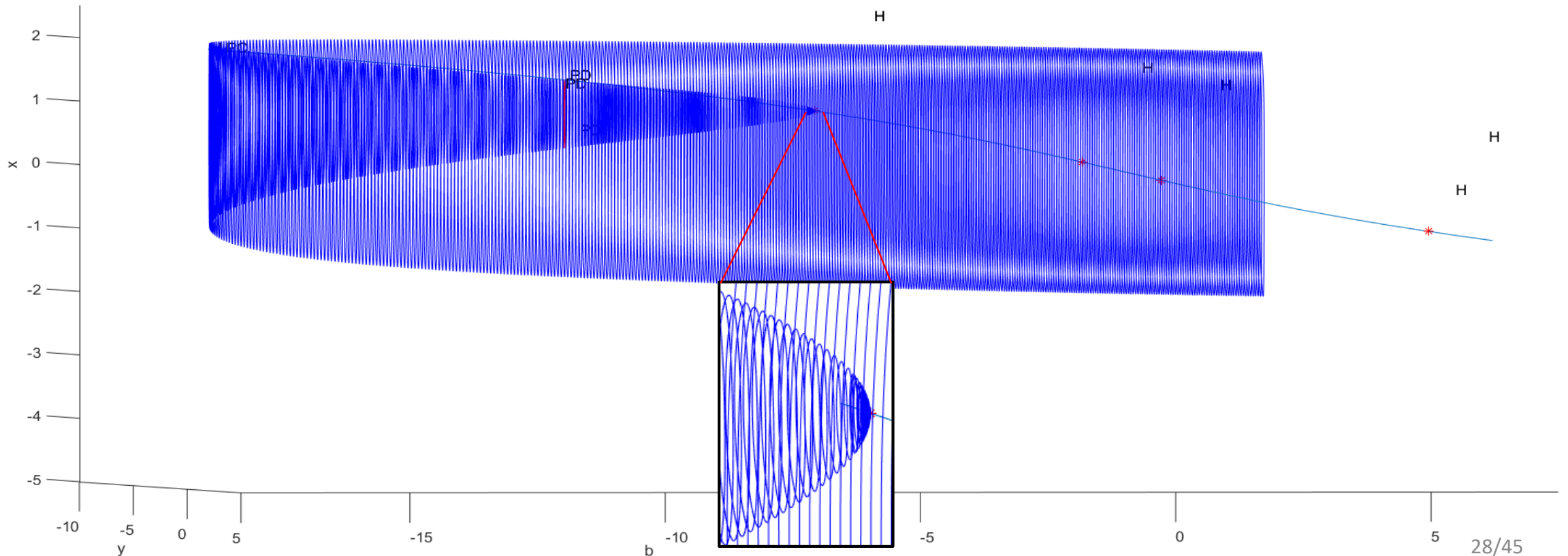


# *Continuazione della Hopf – Cicli Limite*

- Per concludere l'analisi del sistema, sono state effettuate delle *continuazioni* nei punti di biforcazione *Hopf* trovati. Quanto segue è mostrato per un singolo punto, ma i risultati sono simili per ogni punto delle curve Hopf.
- In particolare sono stati evidenziati i *cicli limite nello spazio di controllo*, inoltre sono stati rilevati *Raddoppiamenti di Periodo* e una *Biforcazione Fold di Ciclo*, segnalata con la label 'LPC' da Matcont.

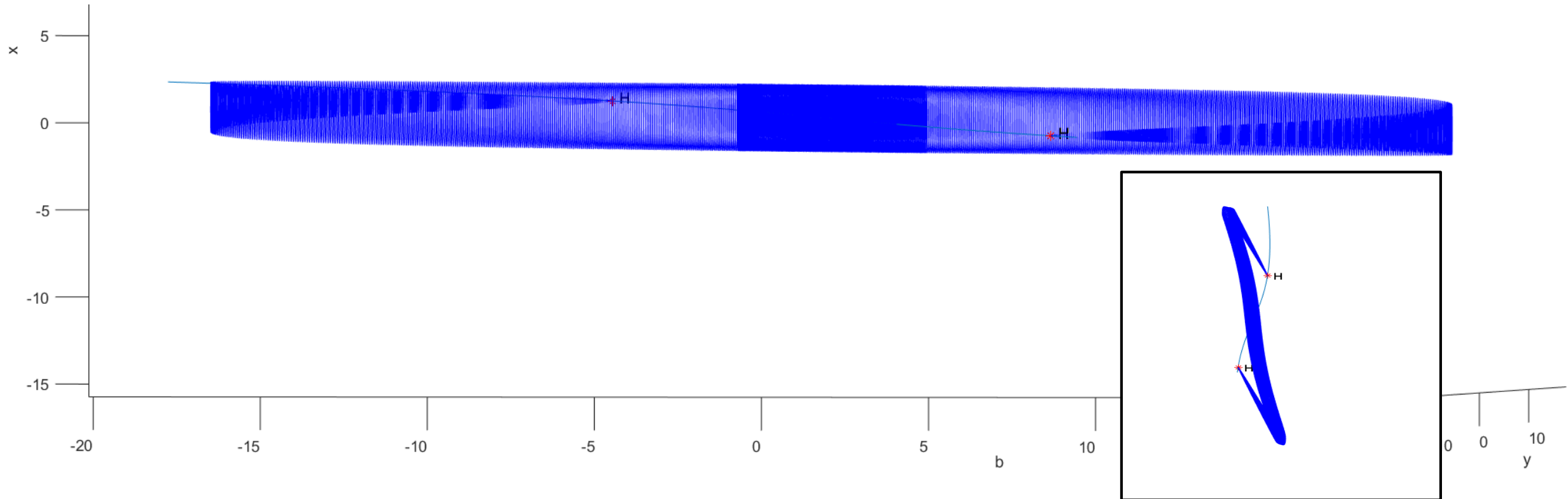
# Cicli Limite

- Lo spazio di controllo considerato comprende le due variabili di stato  $x$ ,  $y$ , e il parametro  $\beta$ , per mettere in evidenza *la generazione del ciclo*. Il seguente grafico è ottenuto continuando una delle due Hopf.



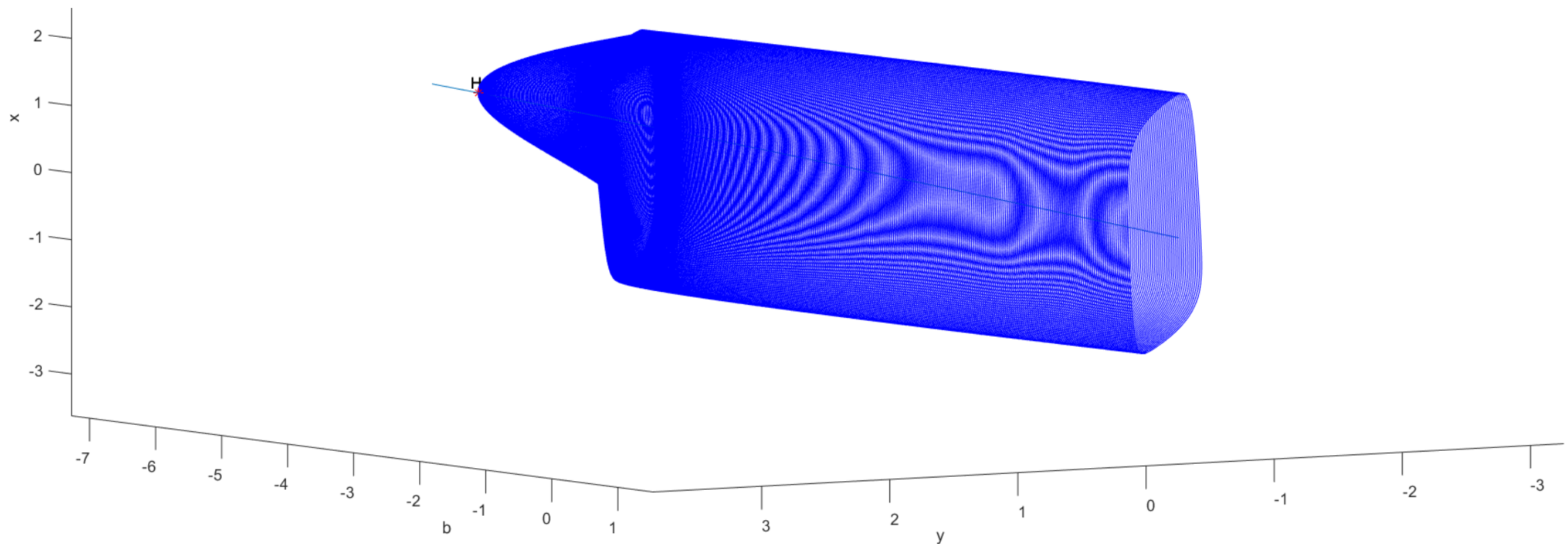
# Cicli Limite II

- Nel grafico seguente invece sono state continuate al *variare dei due parametri* entrambe le Hopf. Si può osservare il *ciclo limite* che nasce (o termina) da una Hopf e termina (o nasce) in quella simmetricamente opposta.

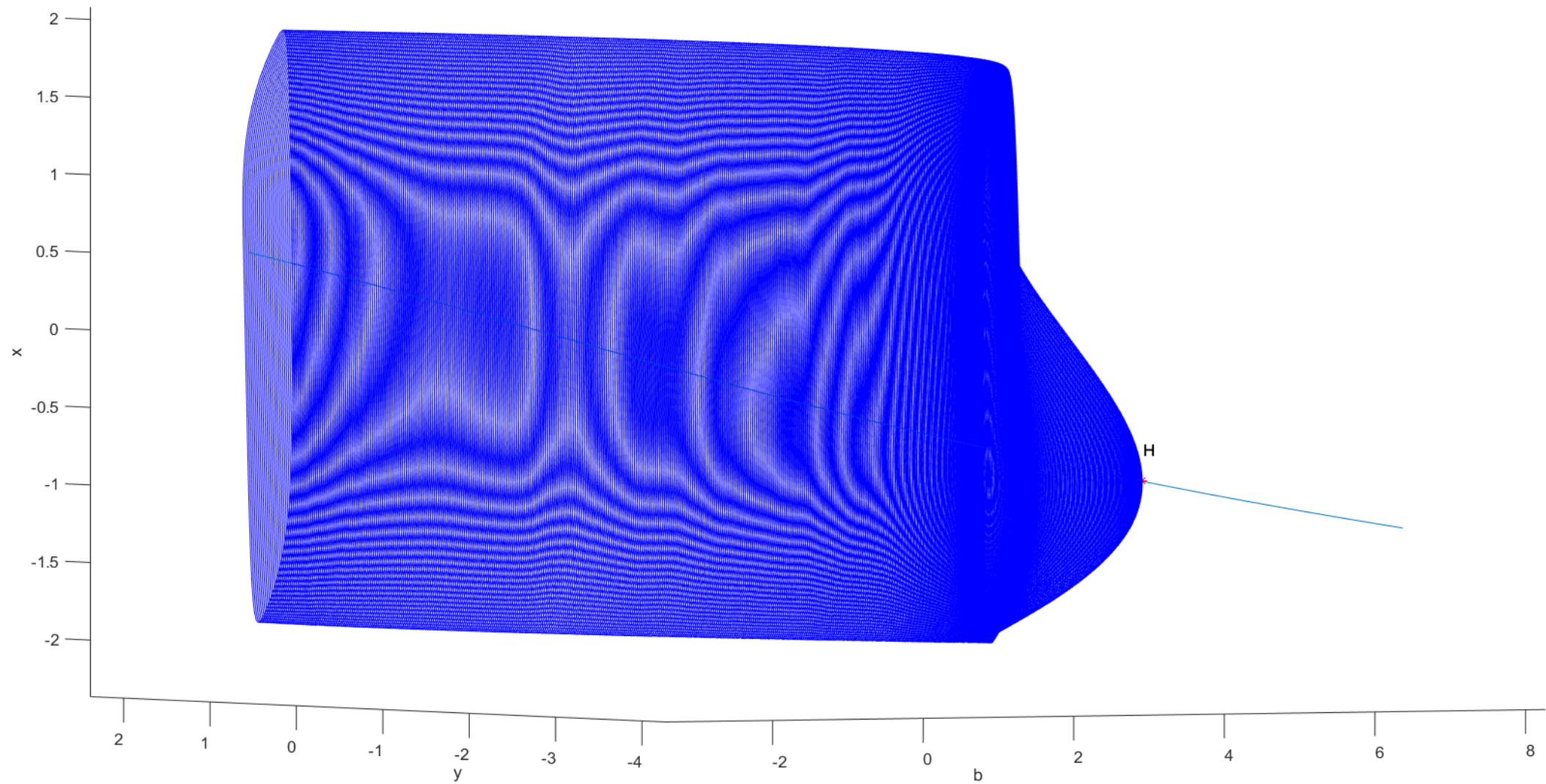


# Cicli Limite III

- Nei grafici seguenti invece sono state *continue* in entrambe le Hopf utilizzando  $\beta$  e il *Periodo*. I risultati sono coerenti con quanto detto nelle slide precedenti, le conclusioni sono analoghe.



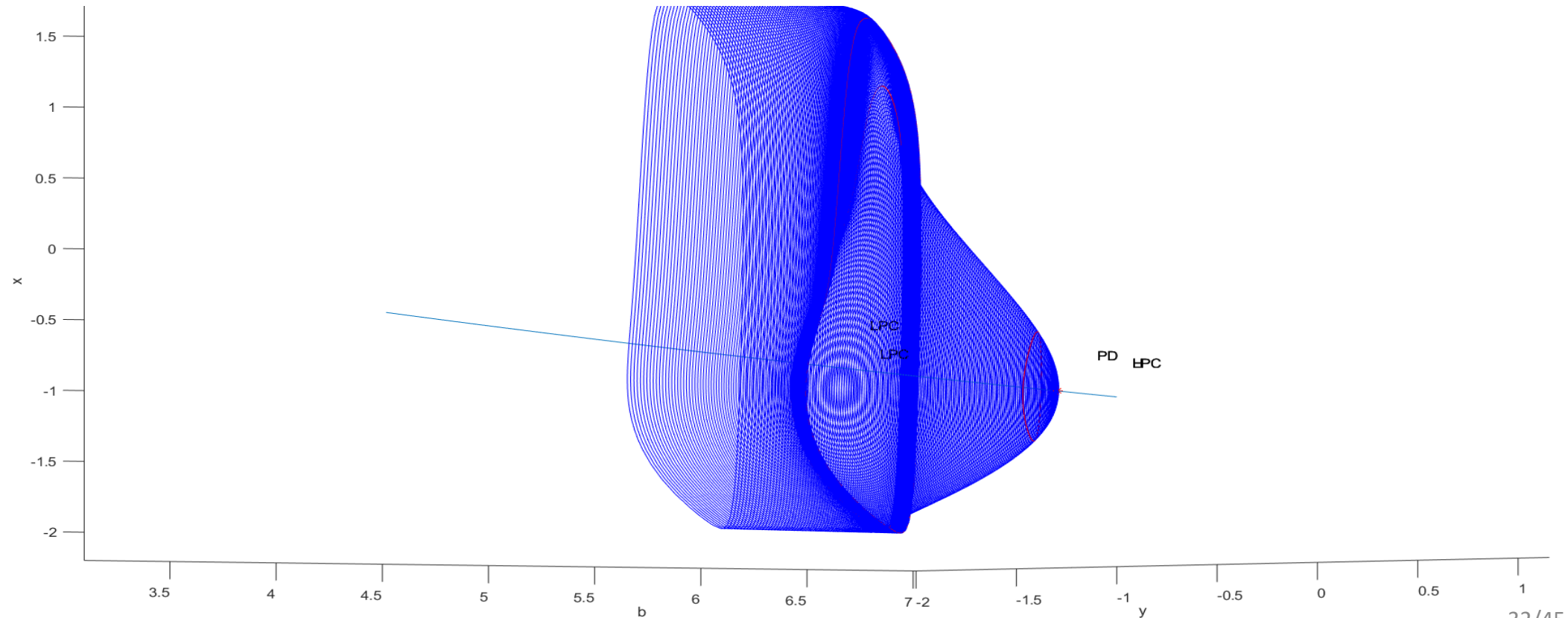
# *Cicli Limite IV*





# Cicli Limite V

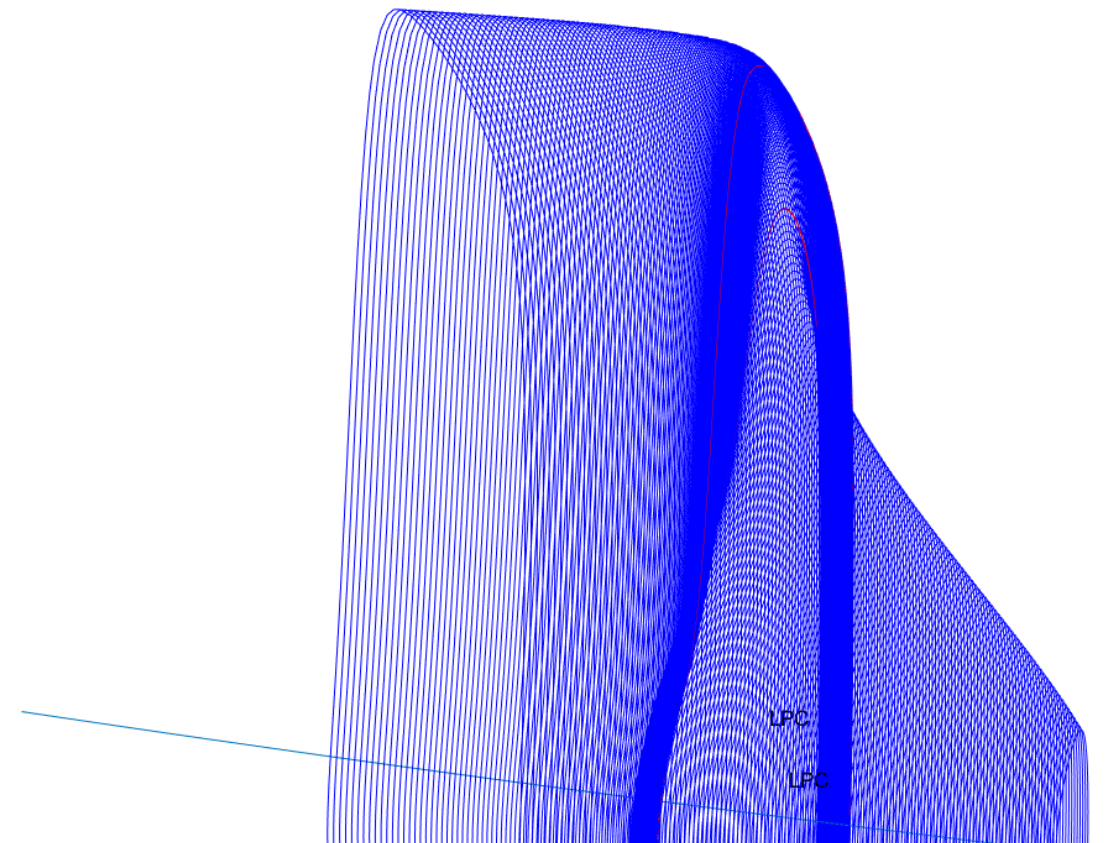
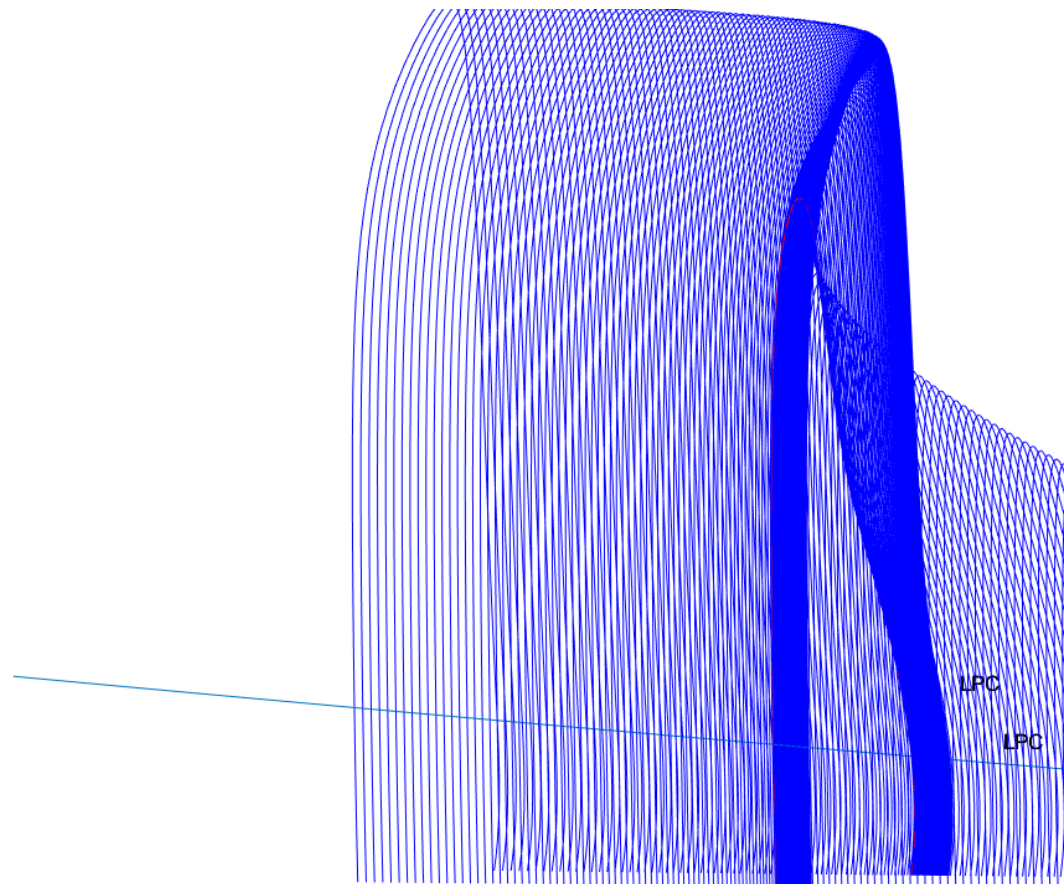
- Qui vengono evidenziate le singolarità incontrate nell'analisi Matcont al variare di  $\beta$  e del Periodo. In particolare viene messa in risalto una *biforcazione Fold di Cicli*, indicata come LPC (Limit Point Cycle).





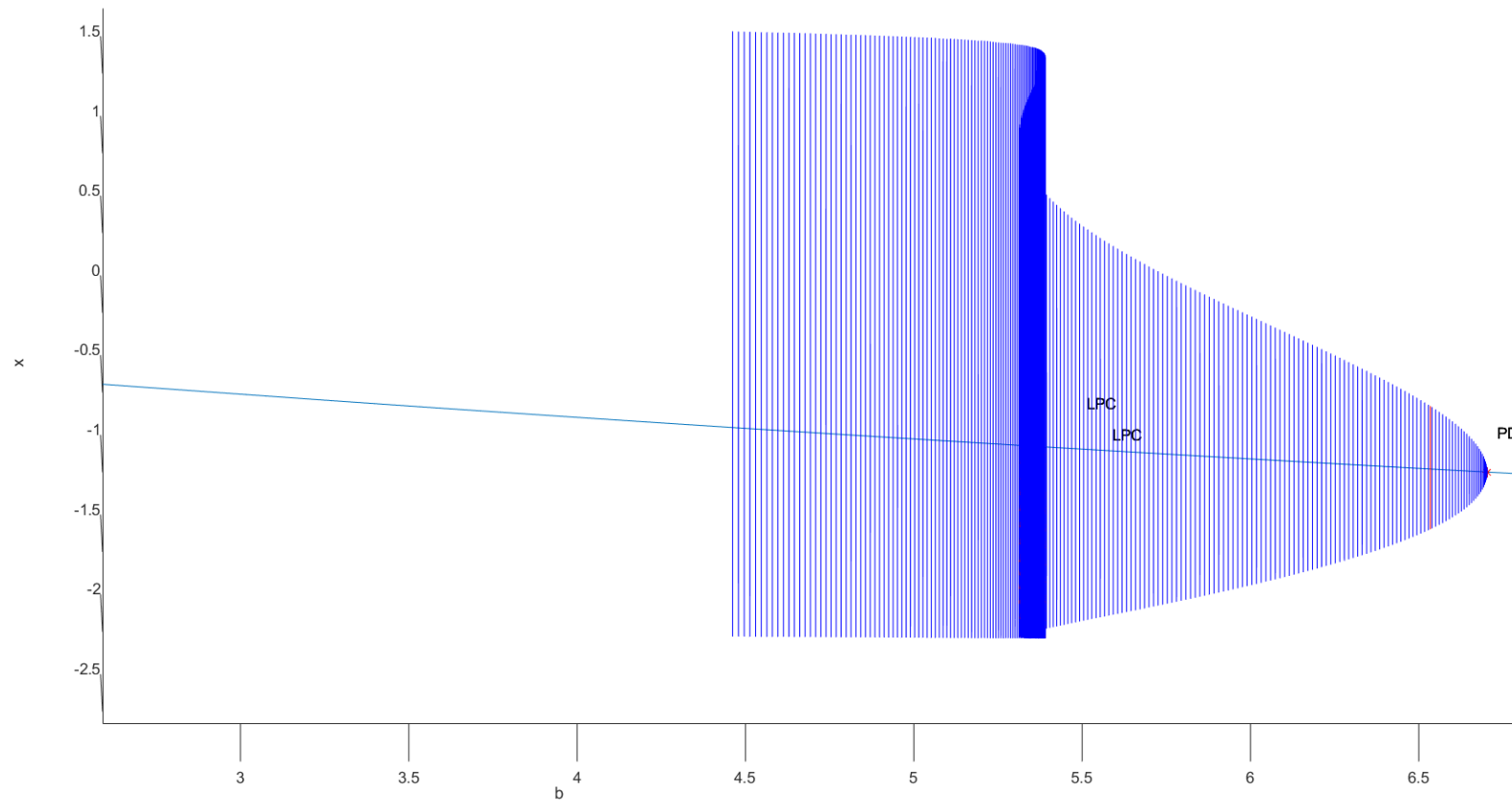
# Cicli Limite VI

- Dettagli delle *Fold di Cicli*, emersa in questo caso per  $\alpha = -9$  e valori di  $\beta$  compresi tra 5 e 5.5



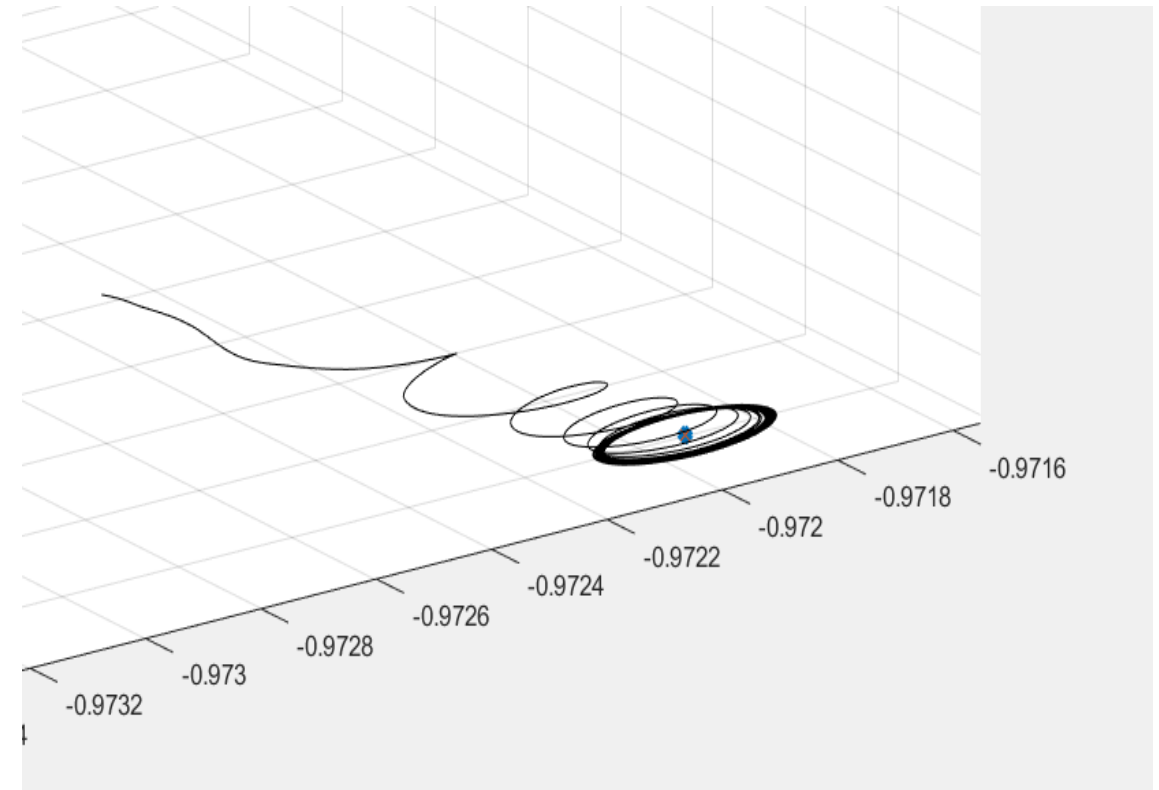
# Cicli Limite VI

- Per completezza viene inserita una 'vista laterale' del *luogo dei cicli limite*, la regione 'spessa' è quella racchiusa tra le due Fold di Cicli



# Dettaglio sui Cicli Limite

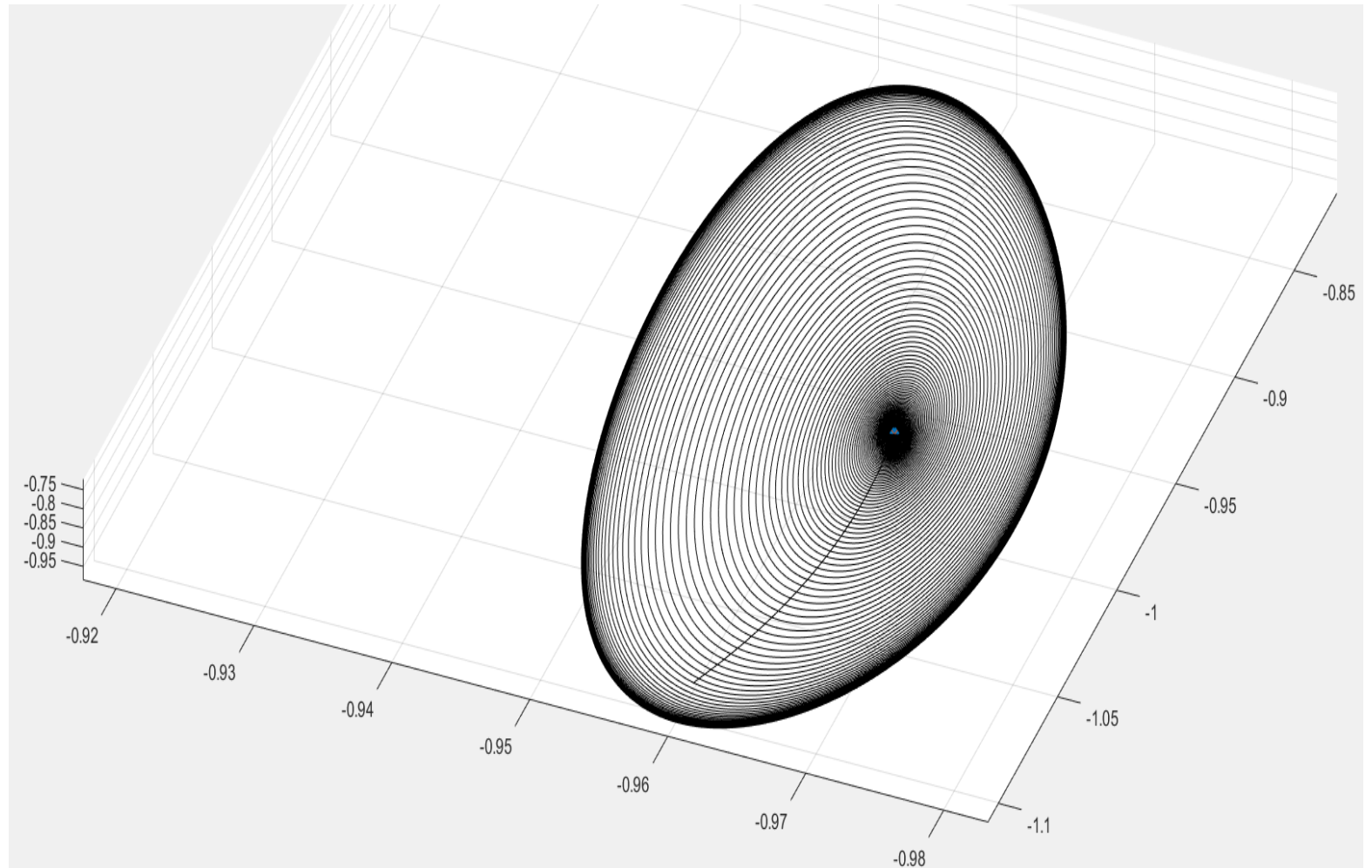
- Di seguito vengono mostrati alcuni grafici delle traiettorie ottenuti utilizzando una sola condizione iniziale, per osservare meglio la comparsa graduale del ciclo limite. Viene approfondita la *transizione tra il ciclo iniziale* generato tramite la Hopf e *quello più ampio* che permane *dopo le Fold di Cicli*.



Dettaglio della generazione del ciclo limite per valore 6.75, appena al di sotto del valore di biforcazione.

# Dettaglio sui Cicli Limite II

- In questo dettaglio è mostrata l'espansione progressiva del **ciclo limite stabile**, in particolare per un valore pari a 6.65.

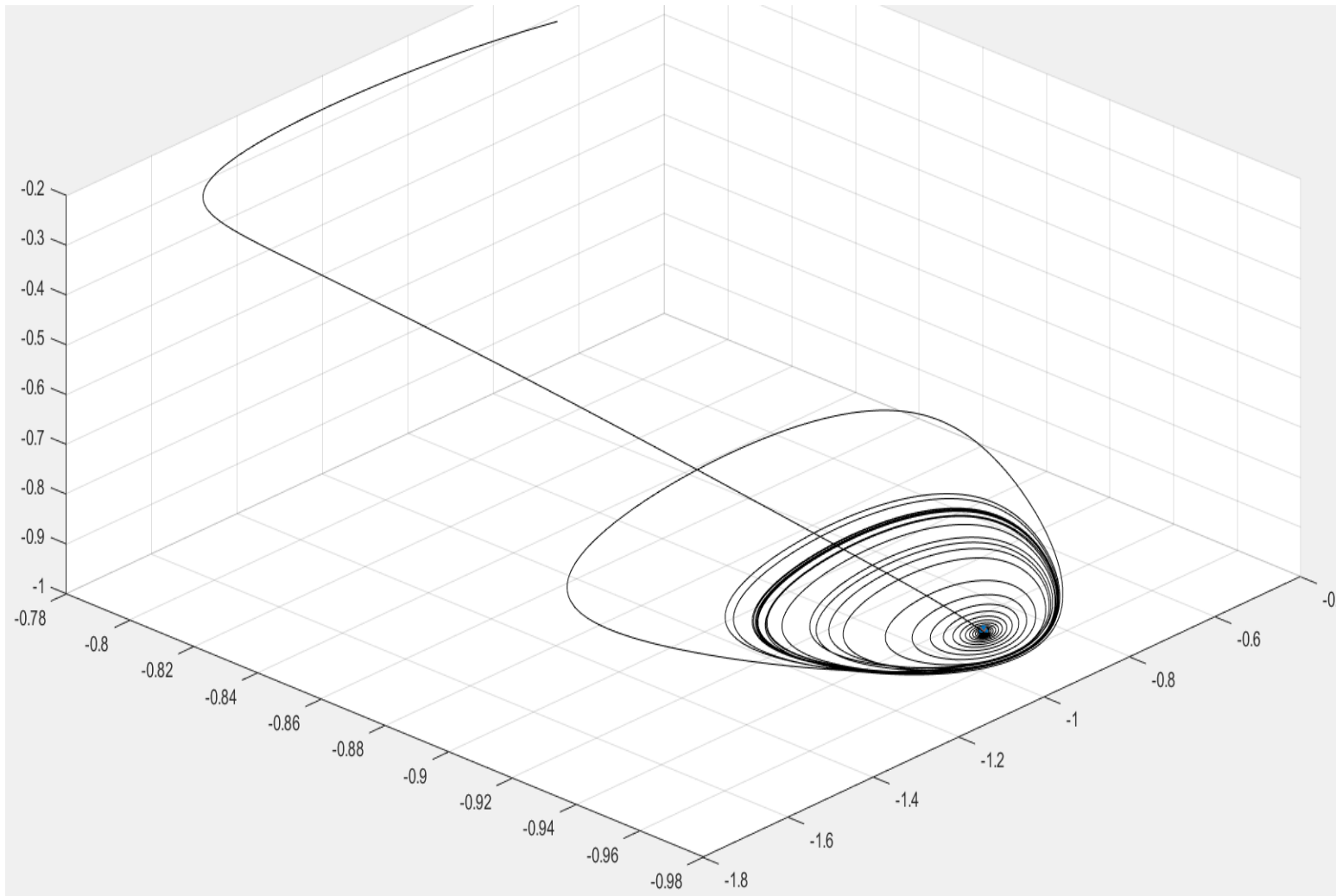


# Stabilità del Ciclo

- La stabilità del Ciclo nella situazione precedente è stata valutata tramite *Mappa di Poincaré*, utilizzando la *seconda isoclina nulla* come *Superficie* (durante e dopo transitorio)



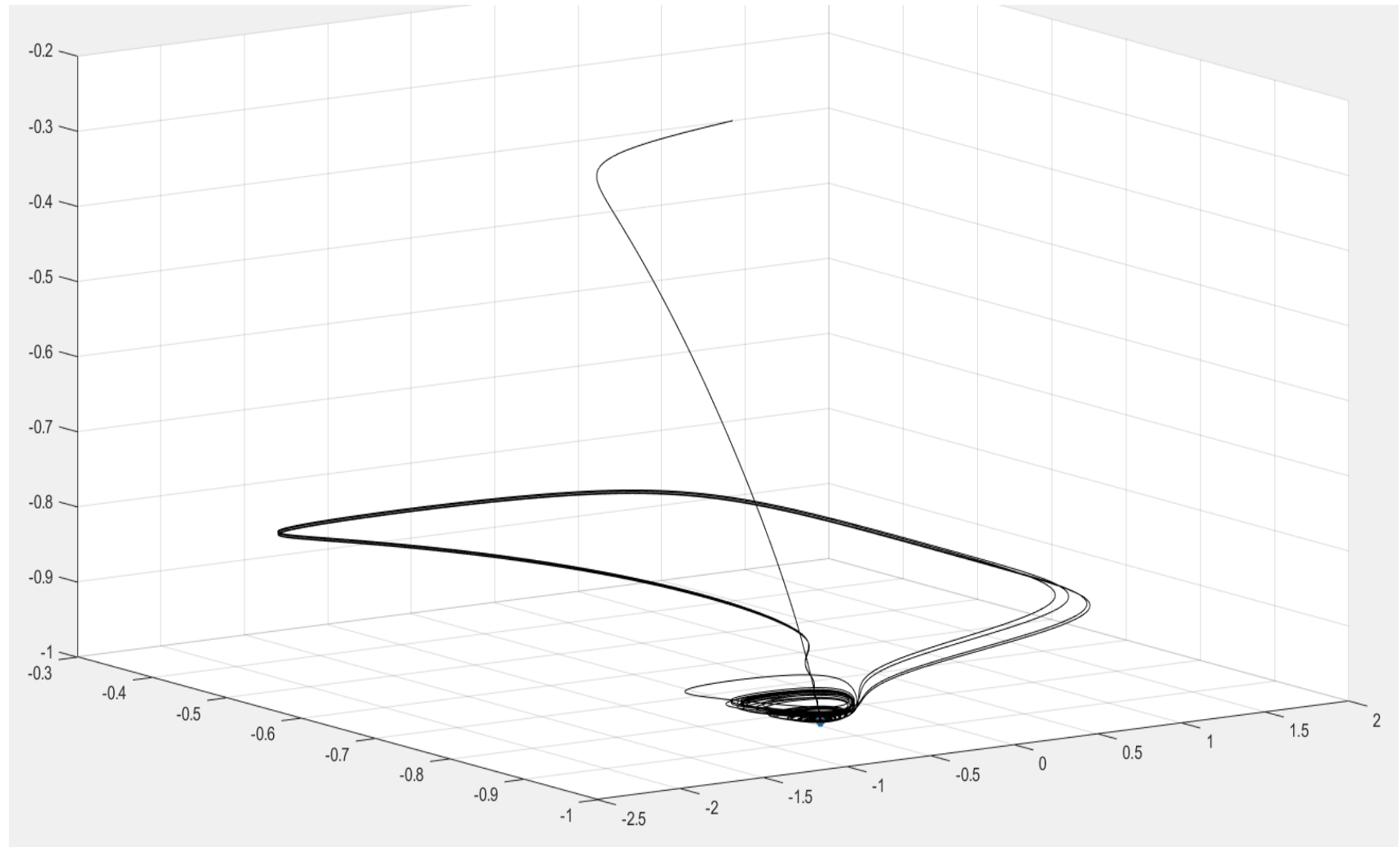
# Dettaglio sui Cicli Limite III



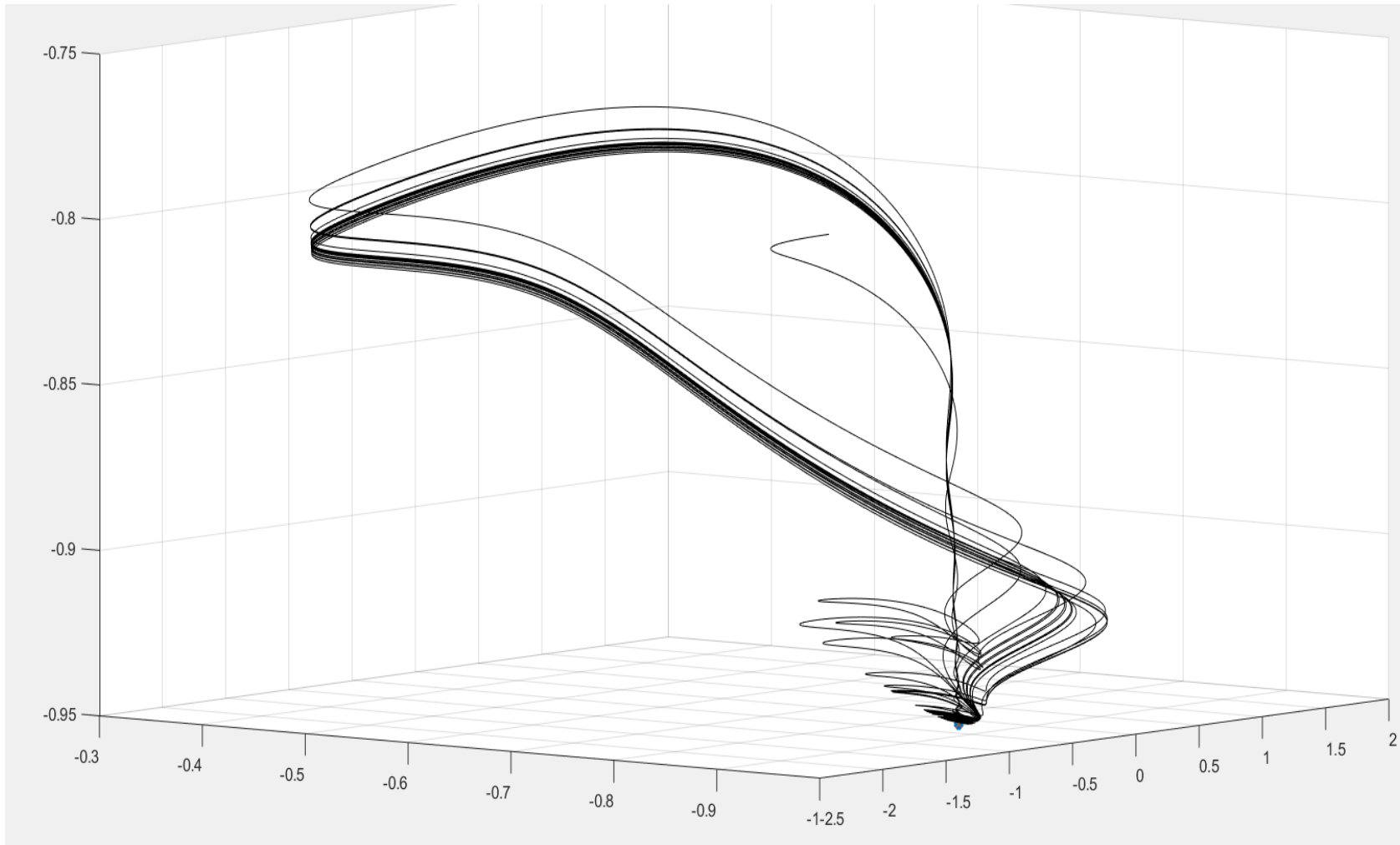
- Qui si evidenzia il ciclo per un valore pari a 6.6, *appena prima* della transizione all'altro ciclo stabile

# Dettaglio sui Cicli Limite IV

- Per un valore di  $\beta$  pari a 6.59 si inizia a notare che la traiettoria del sistema tende a percorrere una traiettoria più ampia ed irregolare.



# Dettaglio sui Cicli Limite V



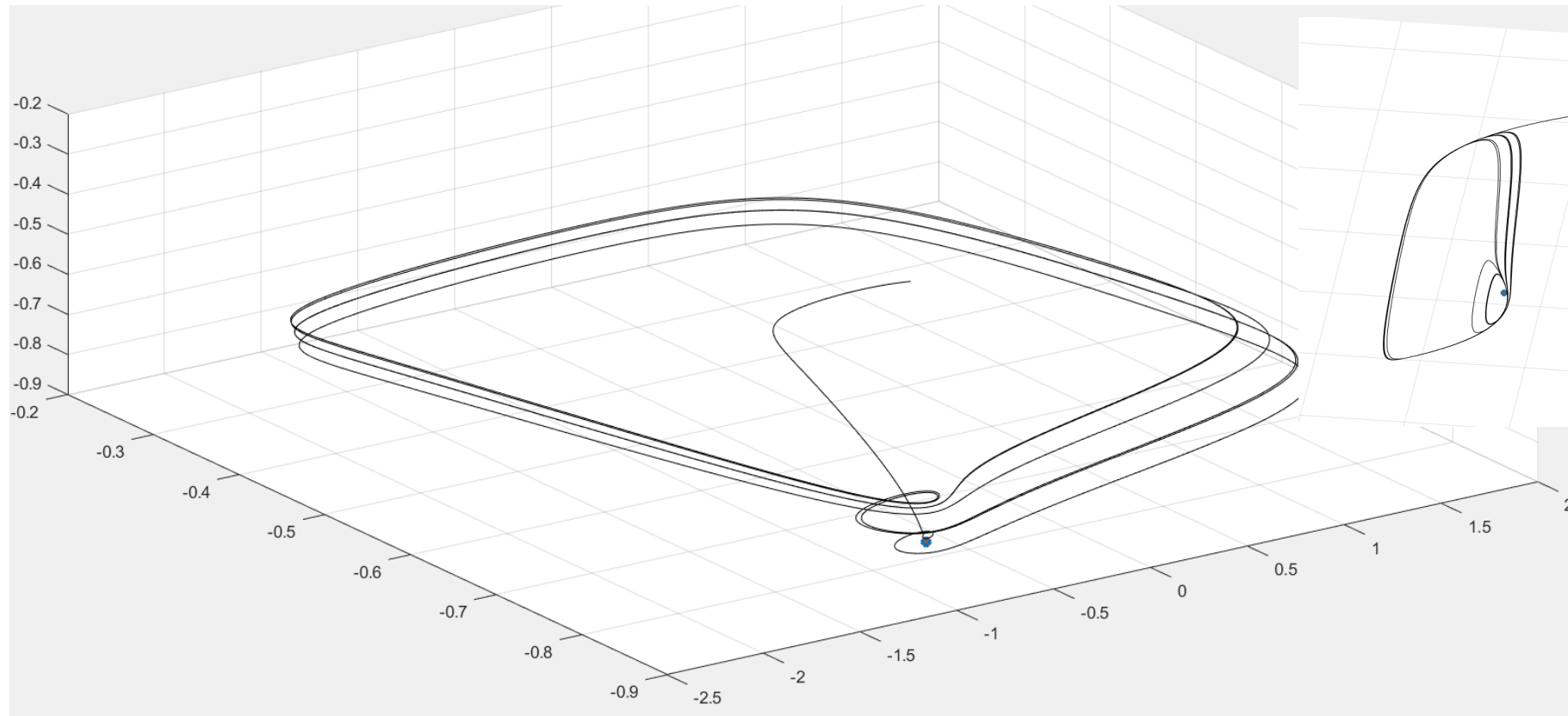
- Questo grafico è stato ottenuto per una differente condizione iniziale e per un valore  $\beta = 6.2$

Il ciclo più piccolo si sta deformando fino a scomparire



# Dettaglio sui Cicli Limite VI

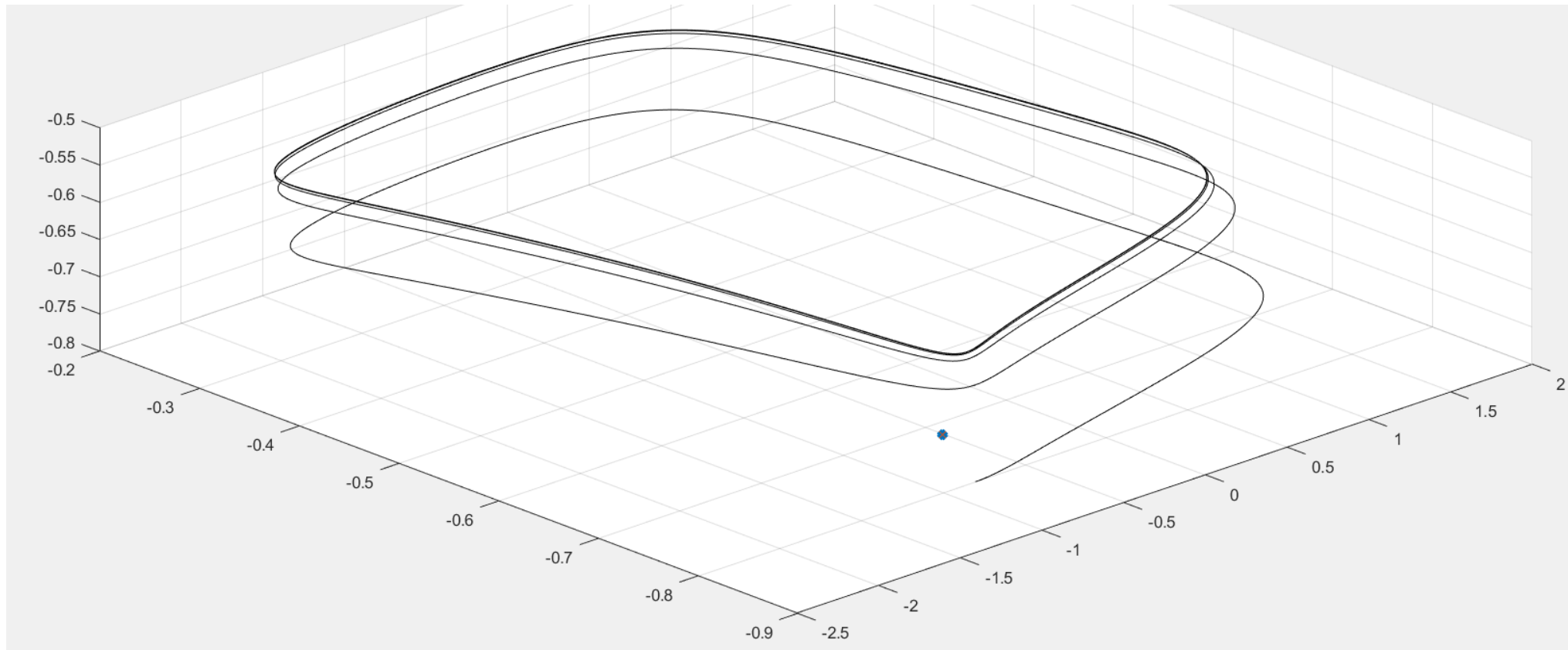
- Al decrescere dei valori di  $\beta$  si ottiene quindi una traiettoria che tende a raggiungere il secondo ciclo limite stabile, quello che permane dopo le due Fold, già evidenziato nelle slide precedenti.



Questa  
traiettoria ad  
esempio è stata  
ottenuta per  $\beta =$   
5.5

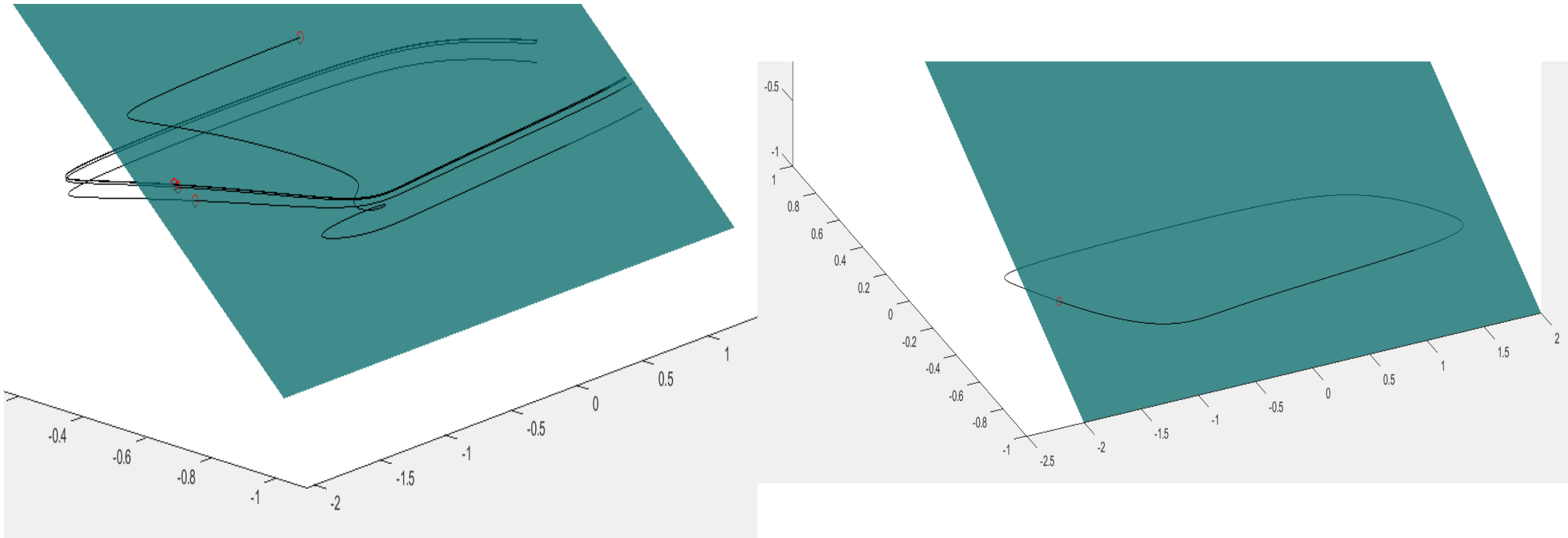
# Dettaglio sui Cicli Limite VII

- Per valori di  $\beta$  *al di sotto di 5.2*, ovvero al di sotto del valore di biforcazione per la seconda Fold di ciclo, l'unico Ciclo Limite Stabile è mostrato nel grafico ( $\beta = 5$ )



# Stabilità del Ciclo II

- Come fatto precedentemente, è stata constatata la stabilità di questo Ciclo Limite tramite la *Superficie di Poincaré* opportuna. (Qui per  $\beta = 5.2$ )



# *Sistema Dissipativo?*

A confermare l'assenza di repulsori nel sistema si può valutare la *Divergenza del Campo vettoriale*.

$$\nabla \cdot f = \frac{\partial}{\partial x} [10(\alpha y - x^3 + 3x - \beta)] + \frac{\partial}{\partial y} [x - 2y + z] + \frac{\partial}{\partial z} [y - z]$$

Si ottiene che  $\nabla \cdot f = -30x^2$ , ovvero un termine sempre negativo, poiché  $x^2$  sempre positivo.

Il *volume* dunque tenderà a *convergere esponenzialmente* secondo  $\dot{V} = -30x^2V$ , incompatibilmente con la presenza di repulsori che ne sono una sorgente.

# Conclusioni

- Durante l'analisi del sistema *non sono stati riscontrati* comportamenti di tipo *Caotico*, non sono stati rilevati *Strani Invarianti*
- Tutte le considerazioni fatte riguardo alla Biforcazione Hopf e ai conseguenti cicli limite rilevati sono applicabili per ciascun punto delle curve
- Non sono state considerate situazioni per valori 'estremi' dei due parametri